



Modélisation physique des erreurs de modèles pour les écoulements fluides géophysiques

Valentin Resseguier, Pierre Dérian, Etienne Mémin, Bertrand Chapron

► To cite this version:

Valentin Resseguier, Pierre Dérian, Etienne Mémin, Bertrand Chapron. Modélisation physique des erreurs de modèles pour les écoulements fluides géophysiques. CNA 2018 - Colloque National d'Assimilation de Données, Nov 2016, Grenoble, France. pp.1-12. hal-01891160

HAL Id: hal-01891160

<https://hal.science/hal-01891160>

Submitted on 9 Oct 2018

HAL is a multi-disciplinary open access archive for the deposit and dissemination of scientific research documents, whether they are published or not. The documents may come from teaching and research institutions in France or abroad, or from public or private research centers.

L'archive ouverte pluridisciplinaire **HAL**, est destinée au dépôt et à la diffusion de documents scientifiques de niveau recherche, publiés ou non, émanant des établissements d'enseignement et de recherche français ou étrangers, des laboratoires publics ou privés.

Modélisation physique des erreurs de modèles pour les écoulements fluides géophysiques

Valentin Resseguier,

Pierre Dérian,

Etienne Mémin,

Bertrand Chapron

Motivations

- Identifier rigoureusement l'effet de la dynamique sous-maille
- Injecter une dynamique petite échelle plausible
- Etudier les bifurcations et les attracteurs
 - Projection climatique
- Quantifier les erreurs de modèle
 - Prévision d'ensemble et assimilation de données

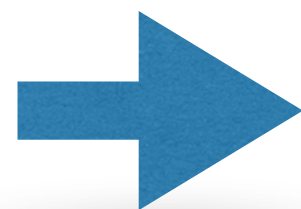
Plan

- Dynamique randomisée
- SQG sous incertitude modérée (SQG MU)
- Lorenz sous incertitude de position

Dynamique randomisée

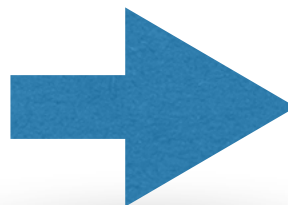
Introduction d'aléas

- Conditions initiales aléatoires



Sous-dispersif +
Nécessite un large
ensemble

- Forçage Gaussien arbitraire



Rajoute de l'énergie +
Mauvaise phase

- Moyennage,
homogénéisation



Problèmes d'hypothèses et
de conservation de l'énergie

- Ajout d'une vitesse
décorrélée en temps



$$\mathbf{v} = \mathbf{w} + \sigma \dot{\mathbf{B}}$$

Advection d'un traceur Θ

$$\frac{D\Theta}{Dt} = 0$$

$$v = w + \sigma \dot{B}$$

Advection d'un traceur Θ

$$v = w + \sigma \dot{B}$$

Advection d'un traceur Θ

$$\partial_t \Theta + \mathbf{w}^* \cdot \nabla \Theta + \sigma \dot{\mathbf{B}} \cdot \nabla \Theta = \nabla \cdot \left(\frac{1}{2} \mathbf{a} \nabla \Theta \right)$$

$$\mathbf{v} = \mathbf{w} + \sigma \dot{\mathbf{B}}$$

Advection d'un traceur Θ

Advection

$$\partial_t \Theta + w^* \cdot \nabla \Theta + \sigma \dot{B} \cdot \nabla \Theta = \nabla \cdot \left(\frac{1}{2} a \nabla \Theta \right)$$

$$v = w + \sigma \dot{B}$$

Advection d'un traceur Θ

$$\partial_t \Theta + \boxed{w^* \cdot \nabla \Theta + \sigma \dot{B} \cdot \nabla \Theta} = \boxed{\nabla \cdot \left(\frac{1}{2} a \nabla \Theta \right)}$$

Advection

Diffusion

$$v = w + \sigma \dot{B}$$

Advection d'un traceur Θ

$$\partial_t \Theta + \mathbf{w}^* \cdot \nabla \Theta + \sigma \dot{\mathbf{B}} \cdot \nabla \Theta = \nabla \cdot \left(\frac{1}{2} a \nabla \Theta \right)$$

Advection

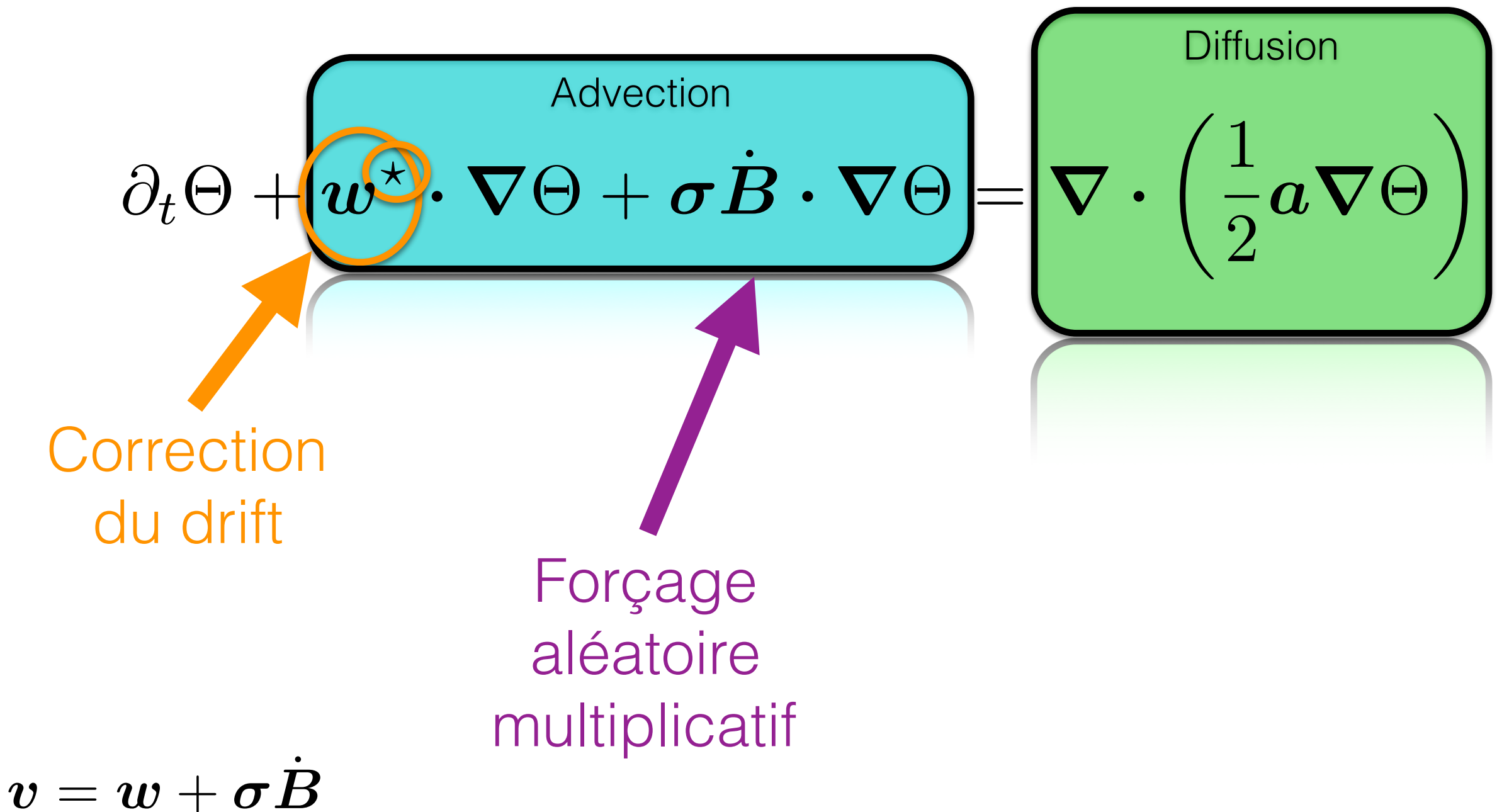
Diffusion

Correction
du drift

The diagram illustrates the components of the tracer advection equation. The left side of the equation is enclosed in a light blue rounded rectangle labeled "Advection". The right side is enclosed in a light green rounded rectangle labeled "Diffusion". A magnifying glass is placed over the term $\mathbf{w}^* \cdot \nabla \Theta$ in the "Advection" box. An orange arrow points from the text "Correction du drift" below to the magnified term.

$$\mathbf{v} = \mathbf{w} + \sigma \dot{\mathbf{B}}$$

Advection d'un traceur Θ



Advection d'un traceur Θ

$$\partial_t \Theta + \mathbf{w}^* \cdot \nabla \Theta + \sigma \dot{\mathbf{B}} \cdot \nabla \Theta = \nabla \cdot \left(\frac{1}{2} a \nabla \Theta \right)$$

Advection

Diffusion

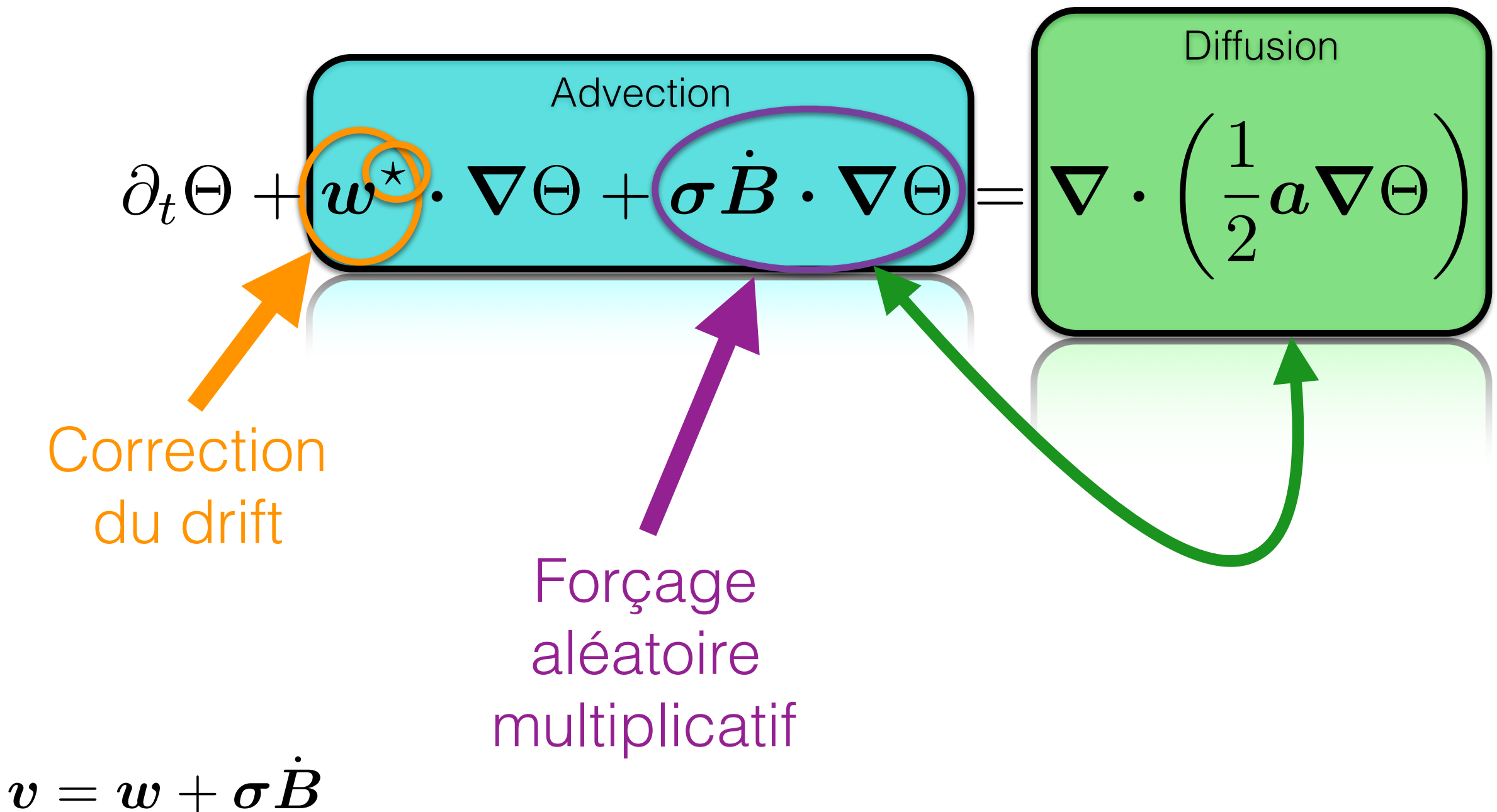
Correction du drift

Forçage aléatoire multiplicatif

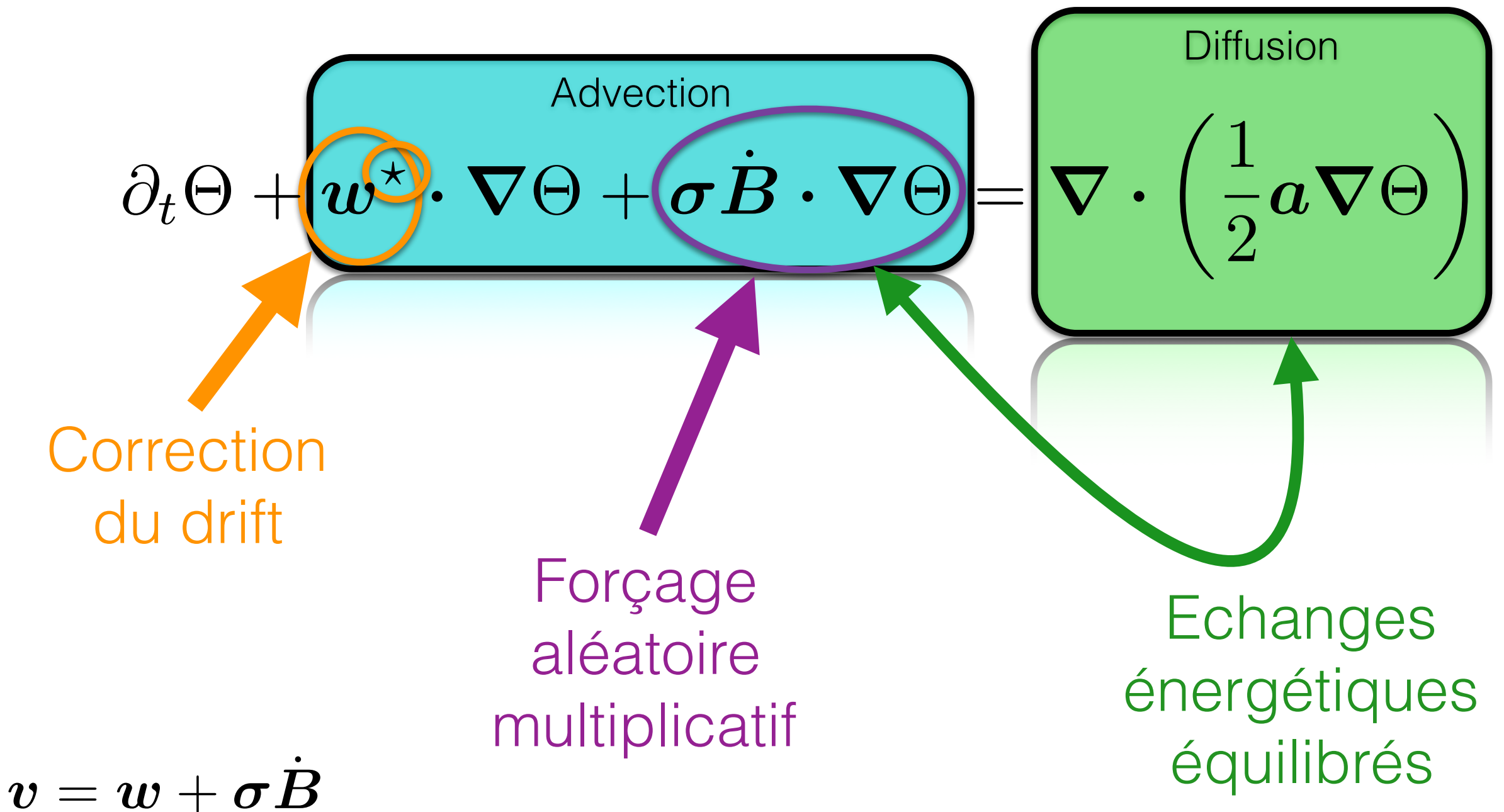
$\mathbf{v} = \mathbf{w} + \sigma \dot{\mathbf{B}}$

The diagram shows the mathematical equation for the advection of a tracer Θ . It is split into two main components: Advection and Diffusion. The Advection term is highlighted with orange and purple circles around the terms $w^* \cdot \nabla \Theta$ and $\sigma \dot{\mathbf{B}} \cdot \nabla \Theta$ respectively. Arrows point from these circles to the text 'Correction du drift' and 'Forçage aléatoire multiplicatif'. The Diffusion term is highlighted with a green box.

Advection d'un traceur Θ

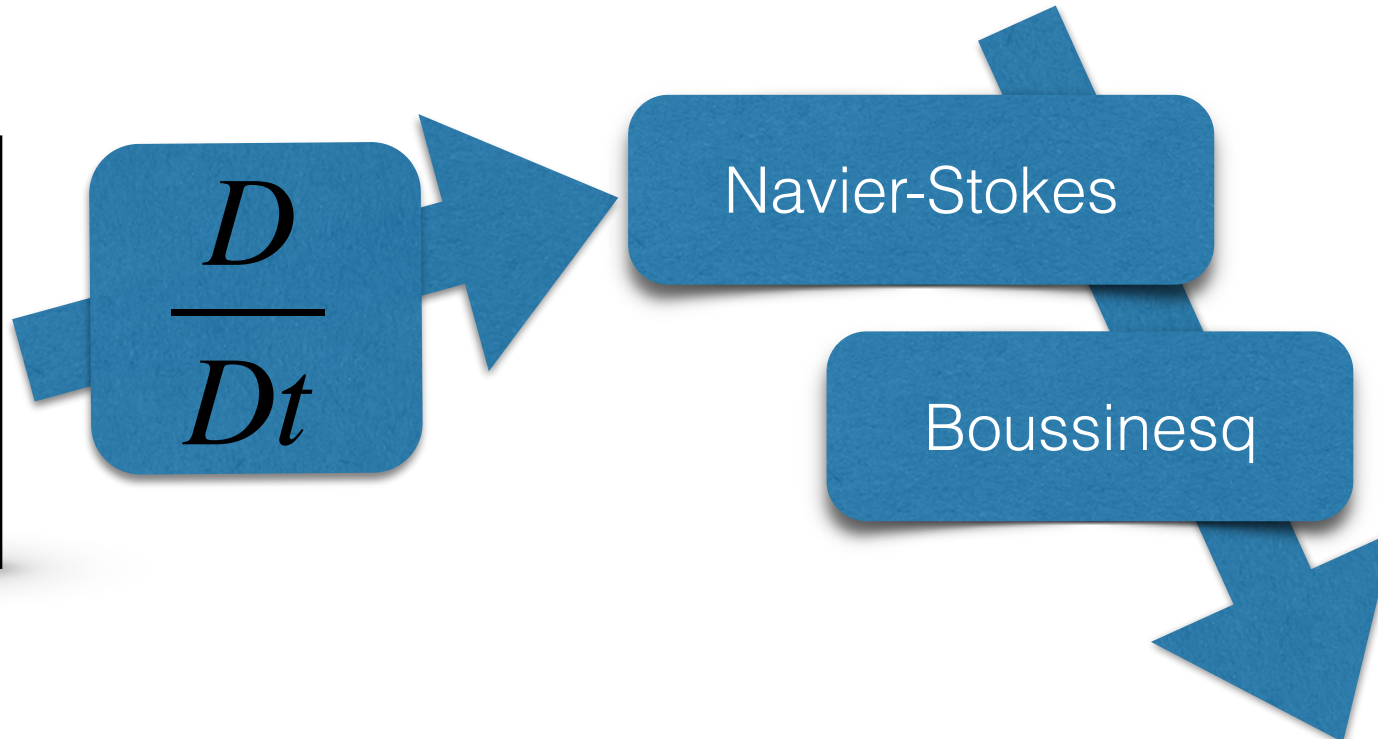


Advection d'un traceur Θ

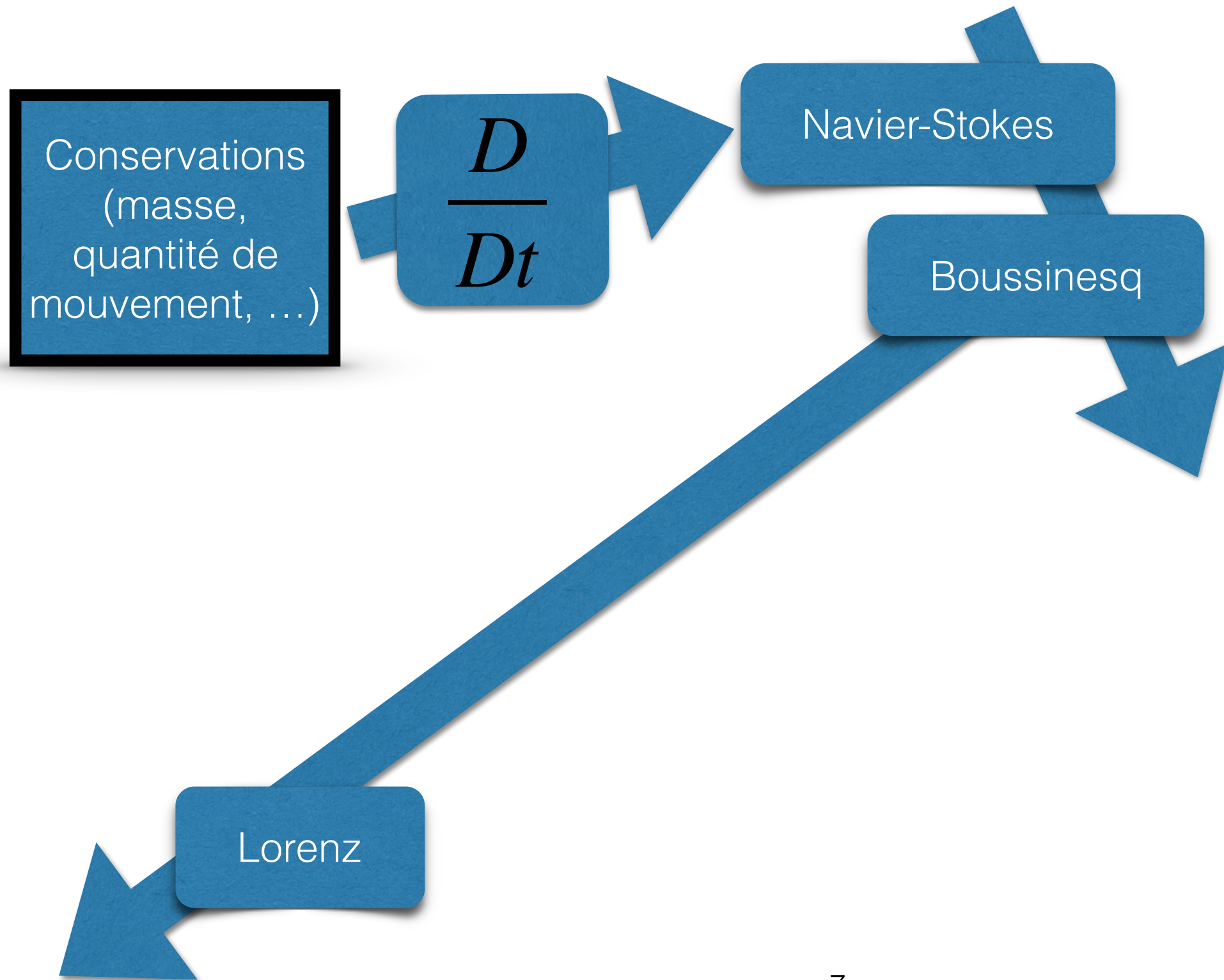


Modèles aléatoires dérivés

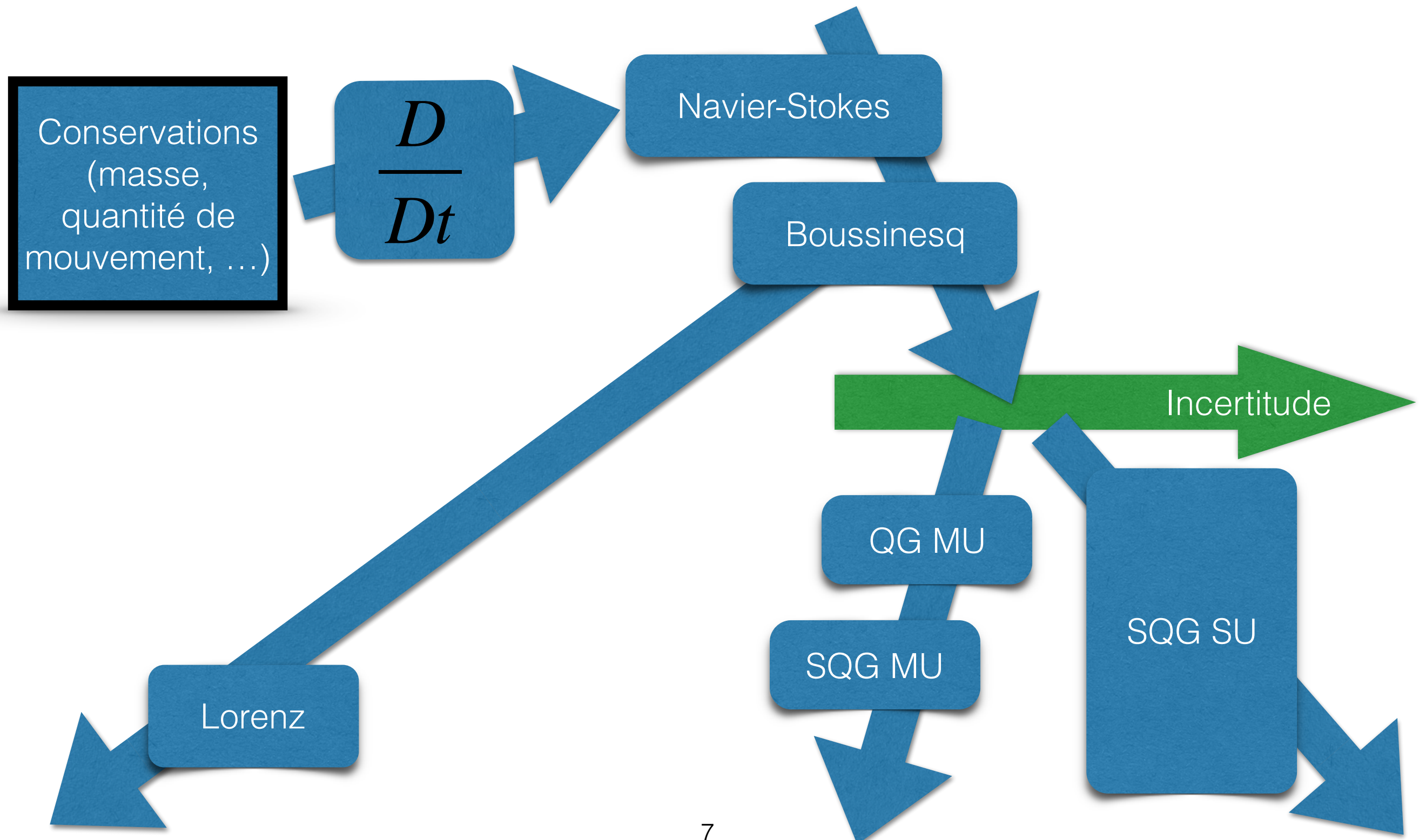
Conservations
(masse,
quantité de
mouvement, ...)



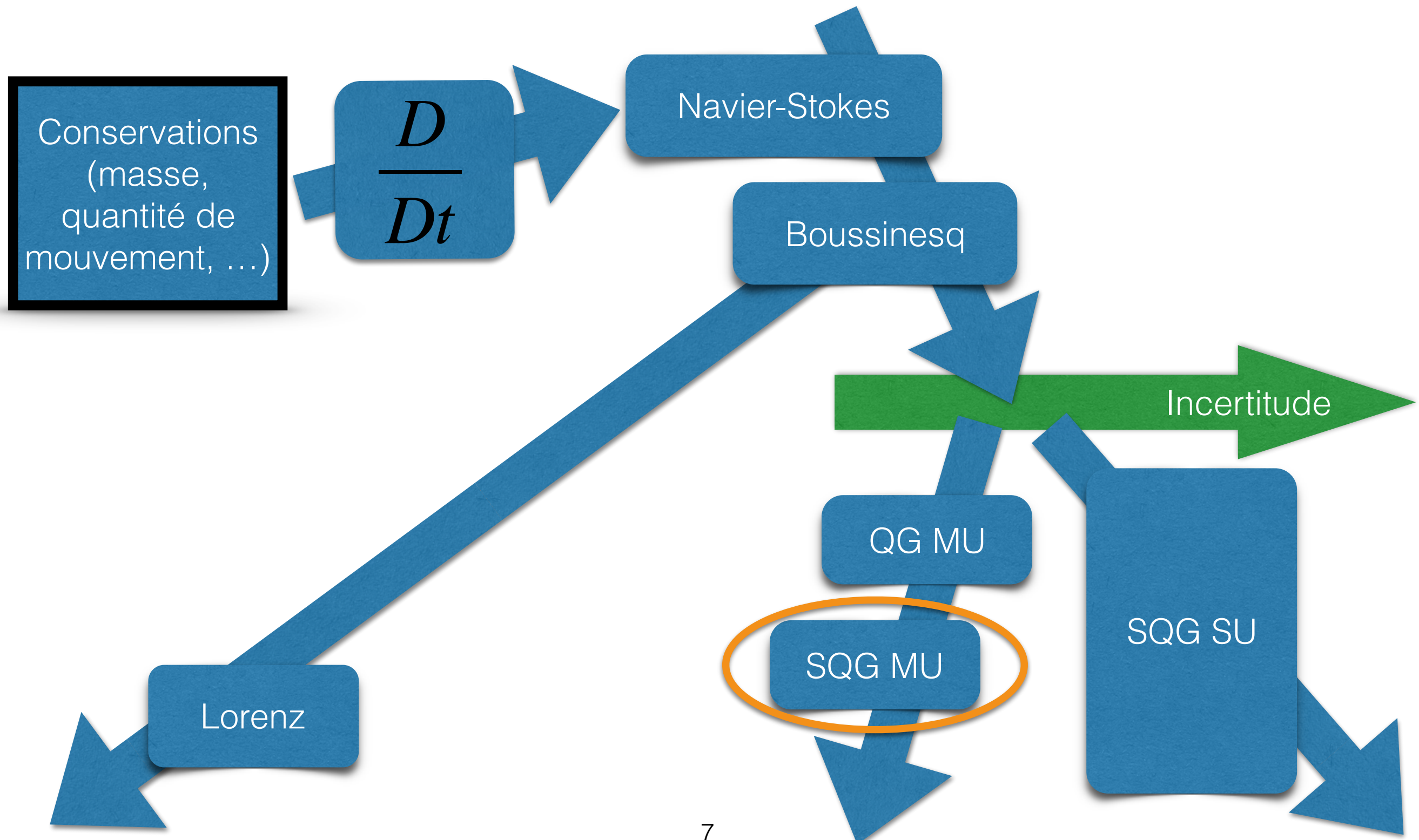
Modèles aléatoires dérivés



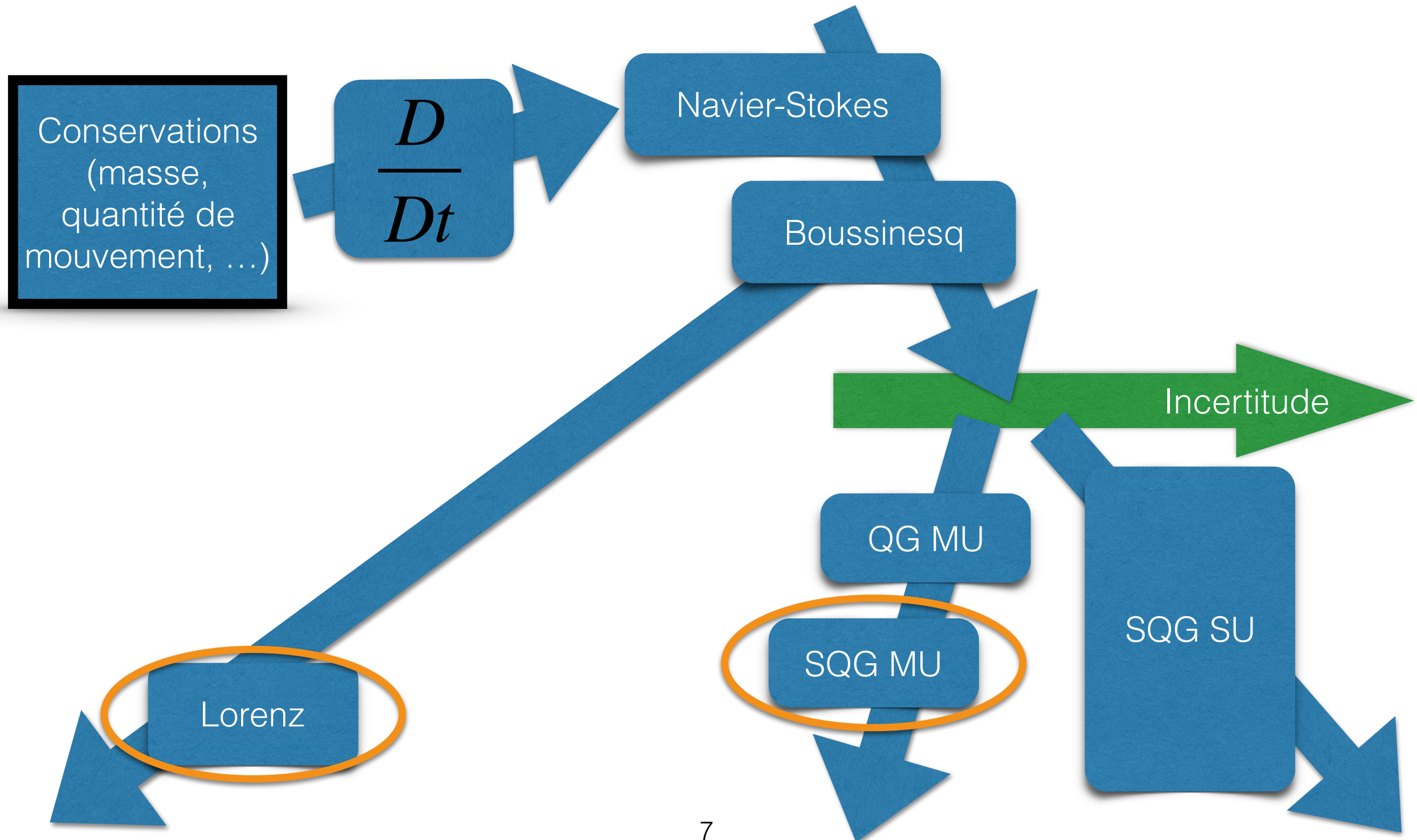
Modèles aléatoires dérivés



Modèles aléatoires dérivés



Modèles aléatoires dérivés



SQG sous incertitude modérée

SQG MU

Code disponible en ligne

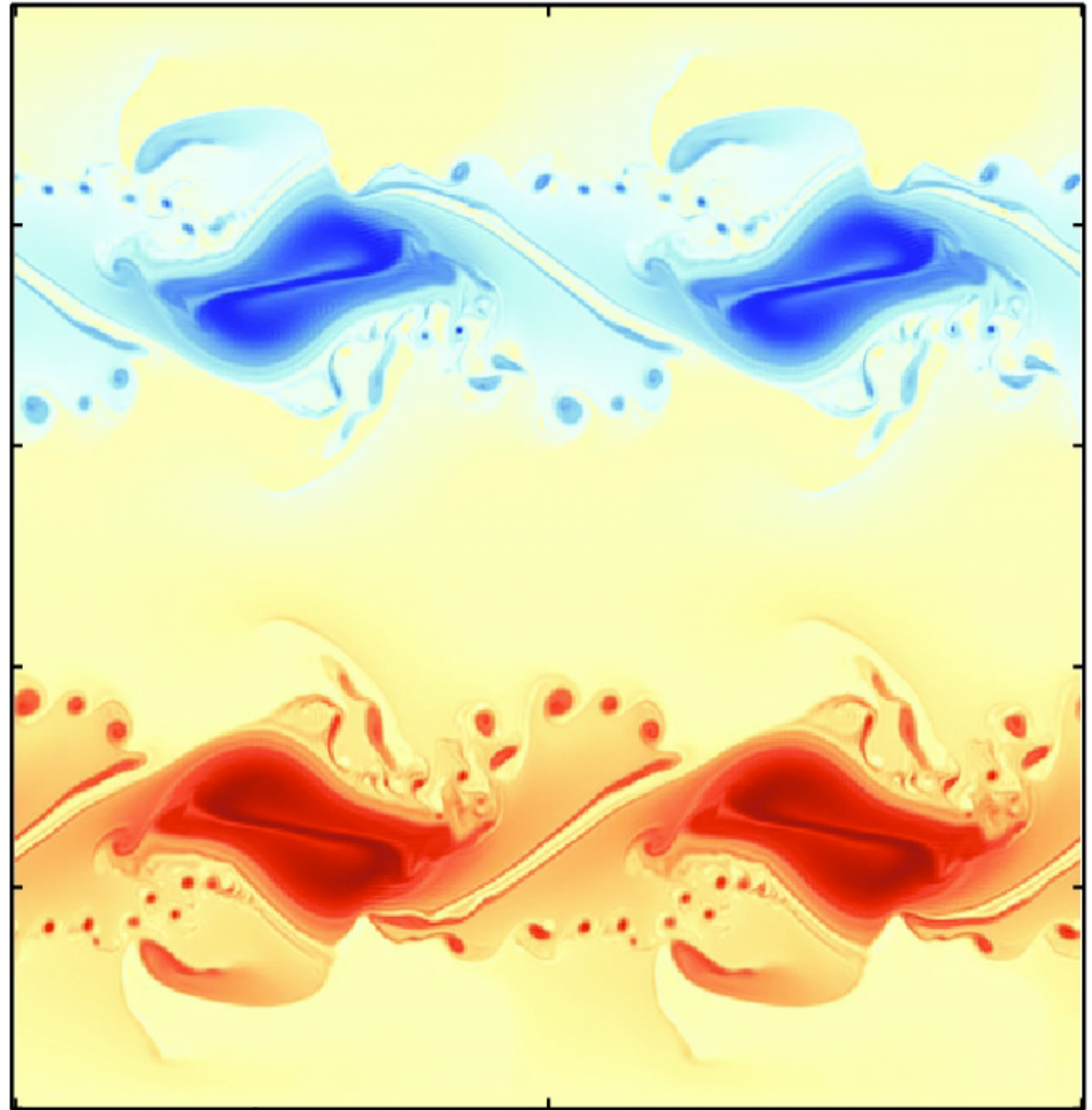
$t = 17$ days

Simulation de
référence:

SQG

déterministe

512 x 512



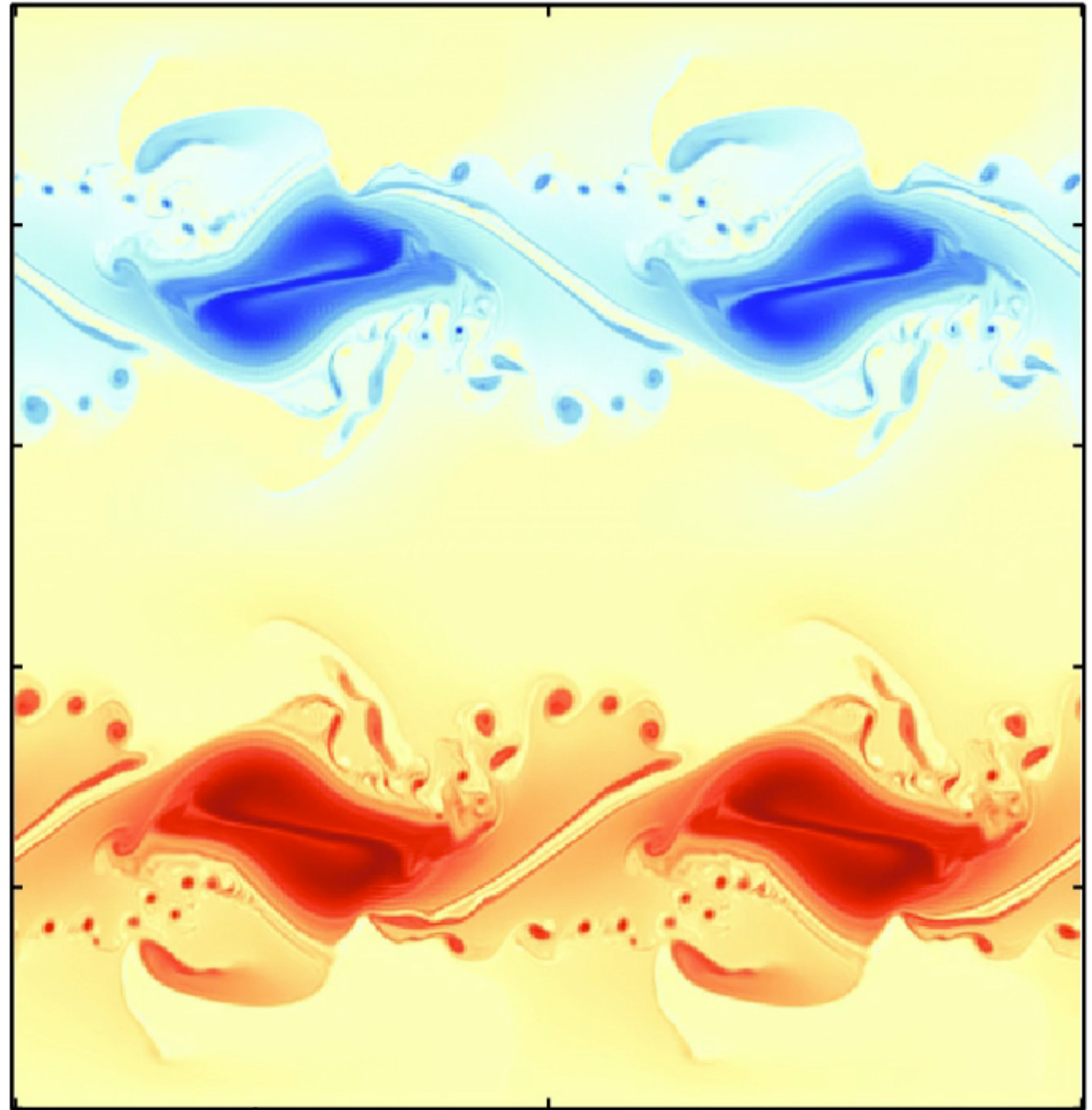
$t = 17$ days

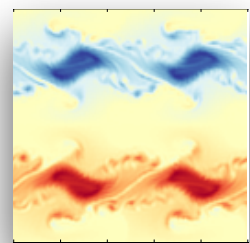
Simulation de
référence:

SQG

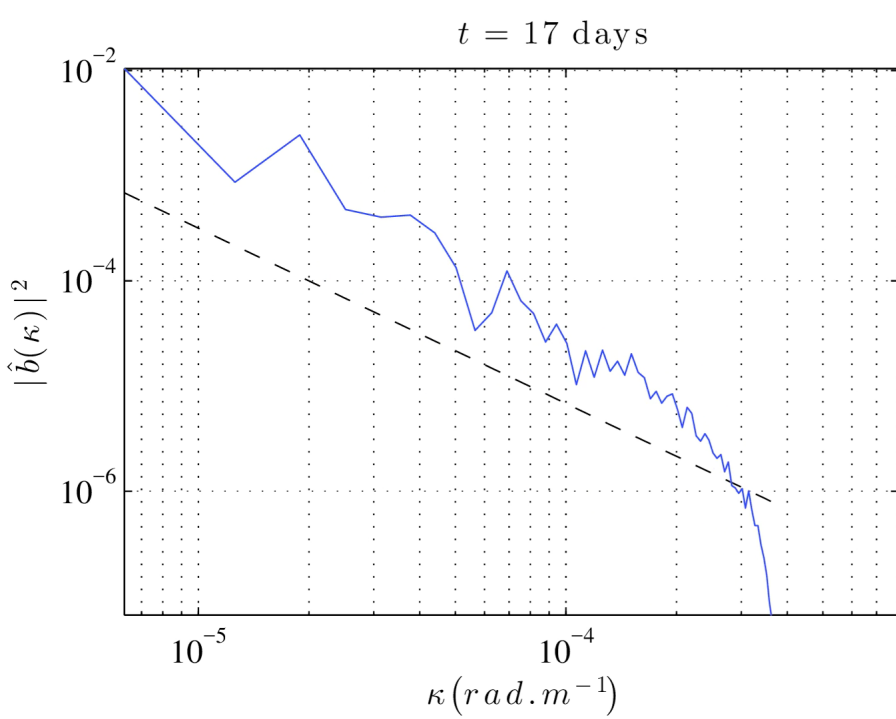
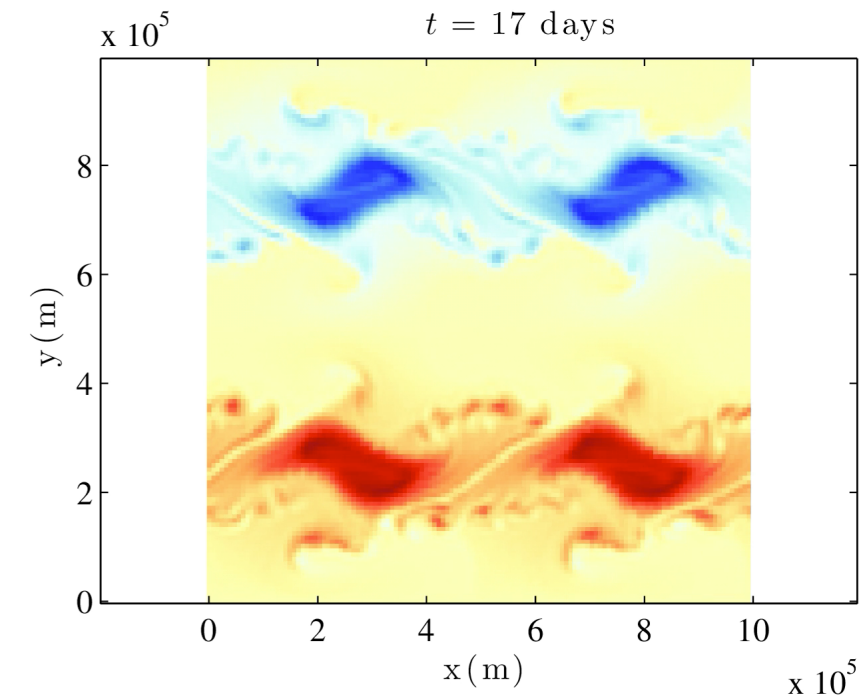
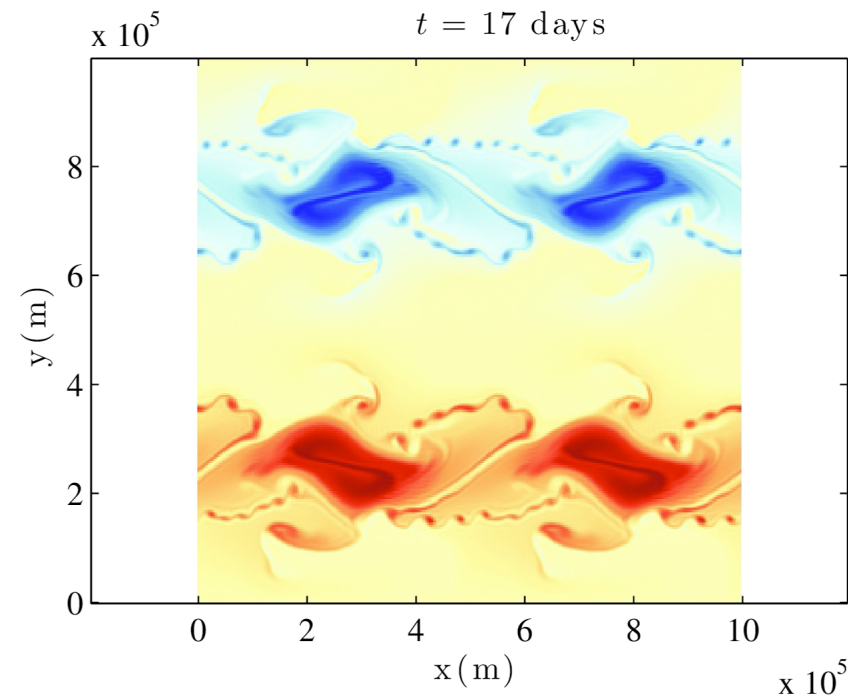
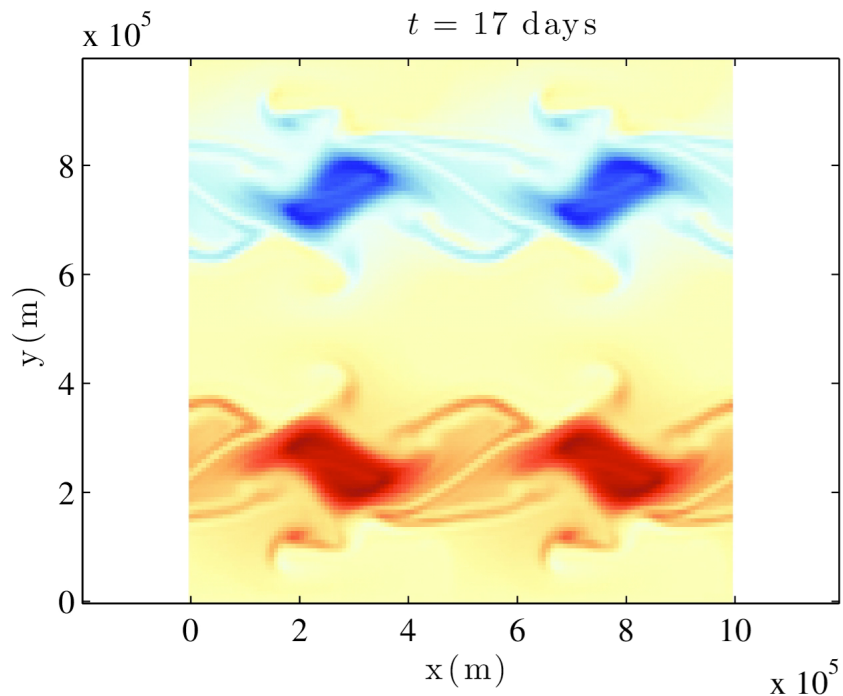
déterministe

512 x 512

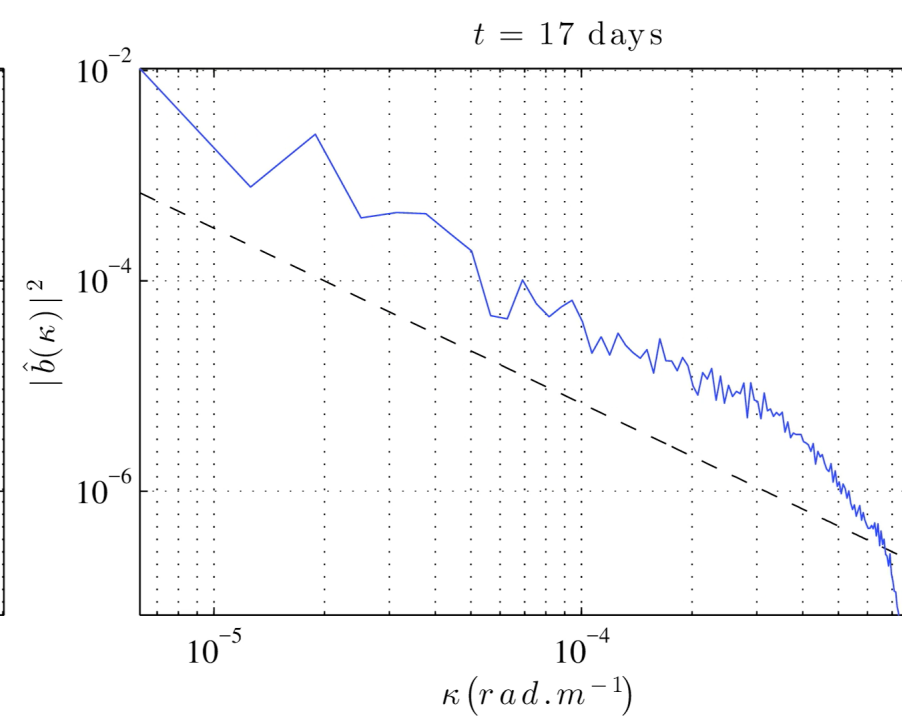




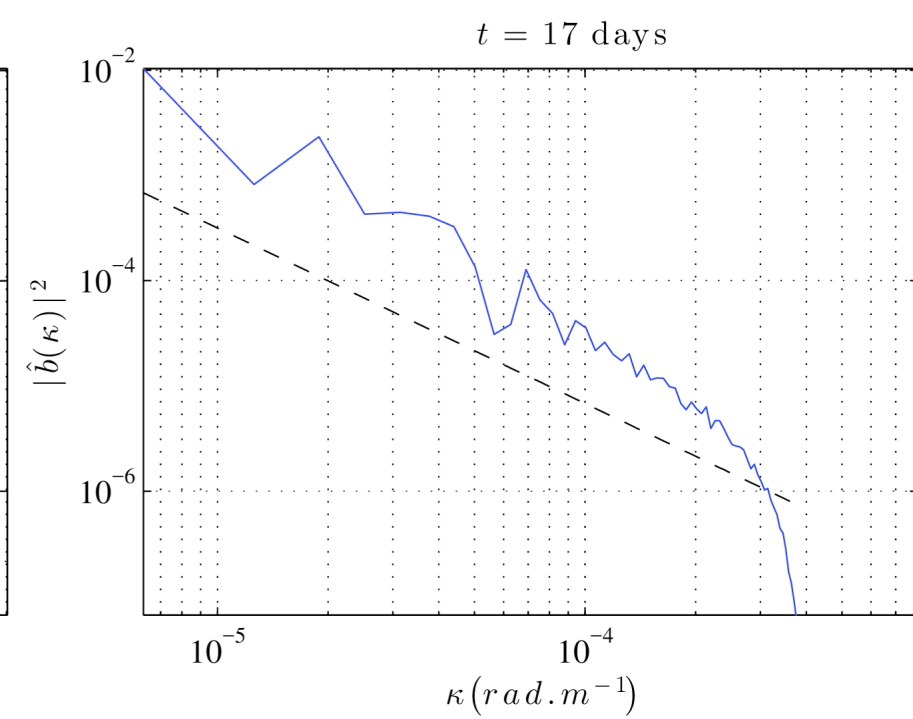
Une réalisation



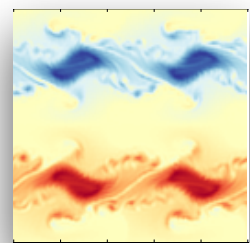
Déterministe 128x128



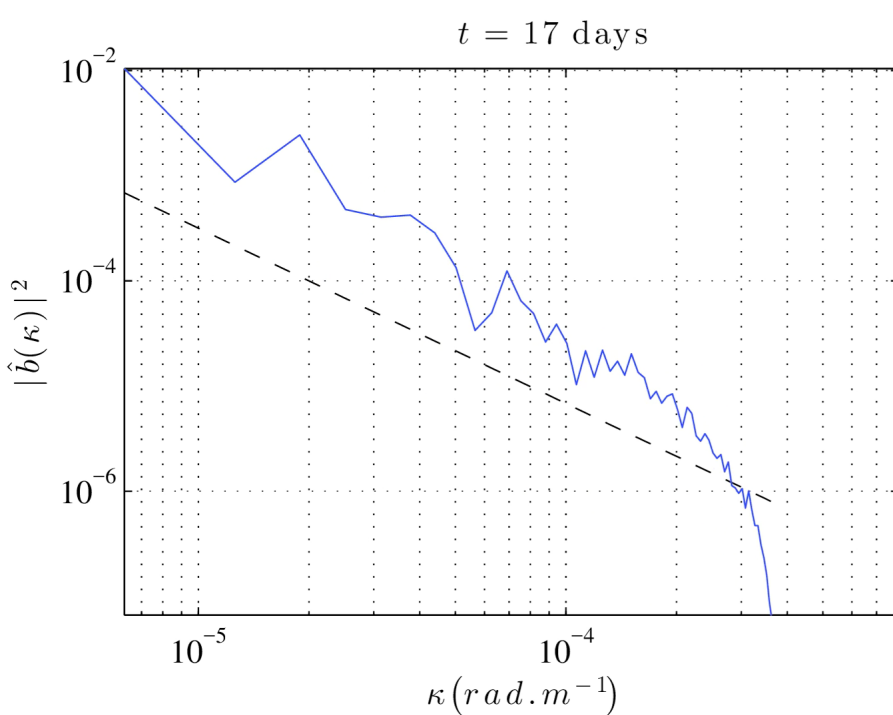
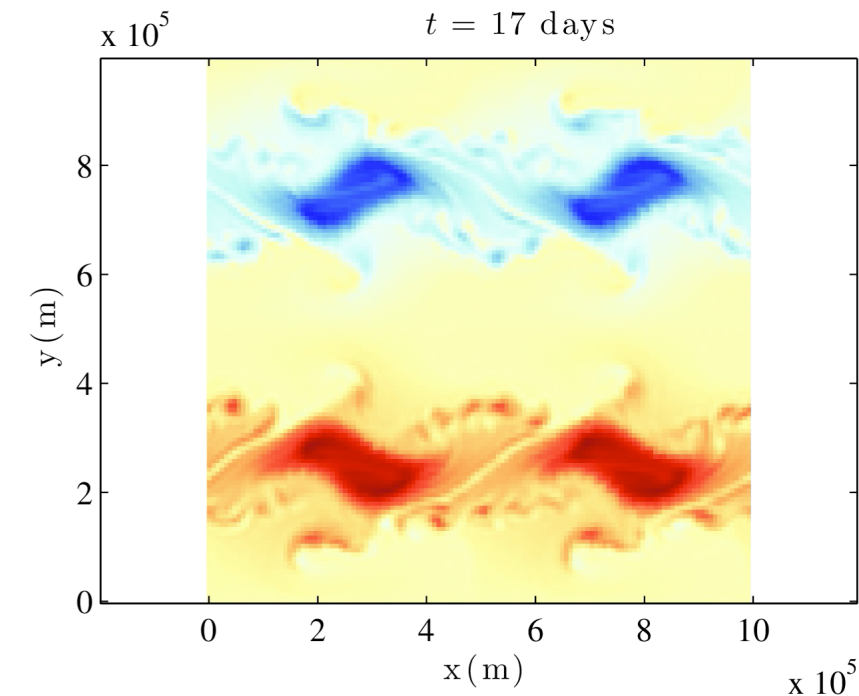
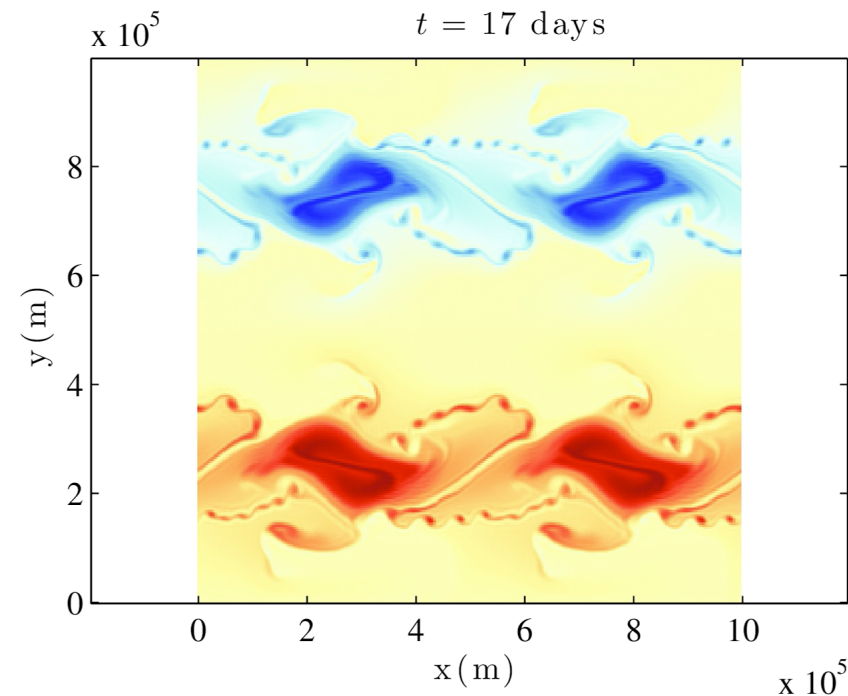
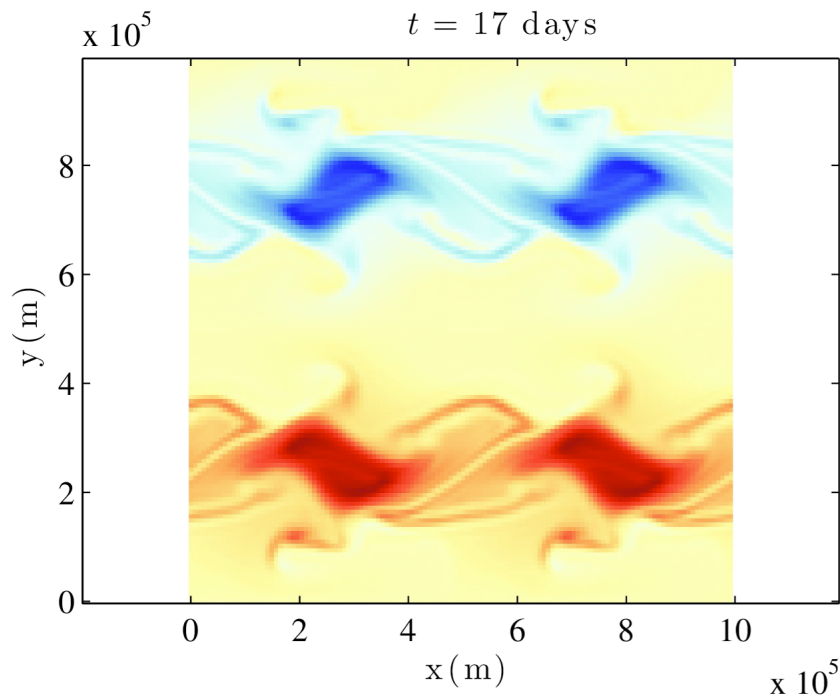
Déterministe 512x512
10



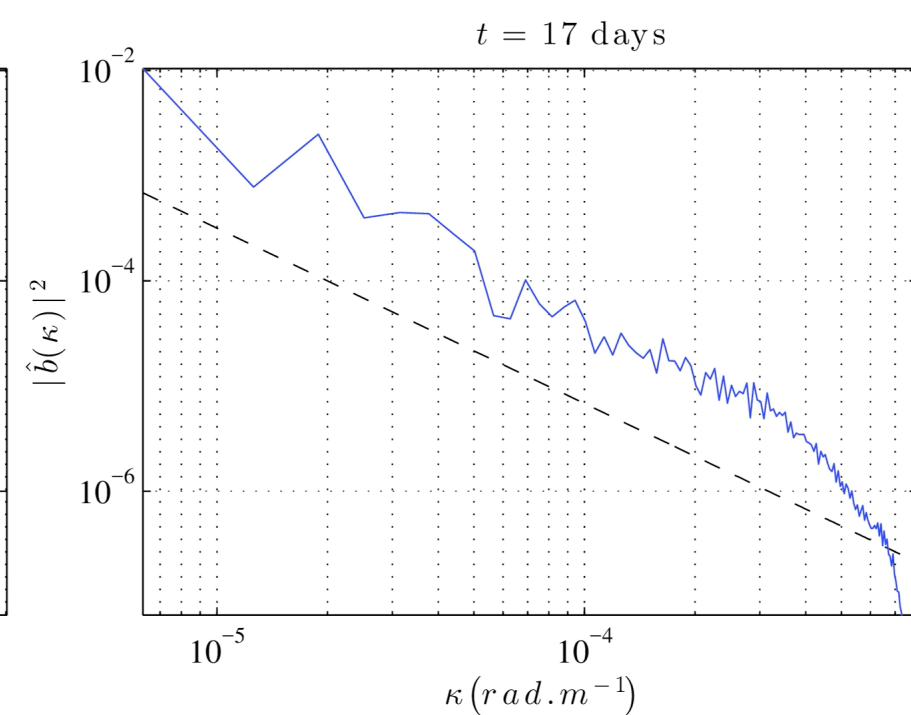
Stochastique 128x128



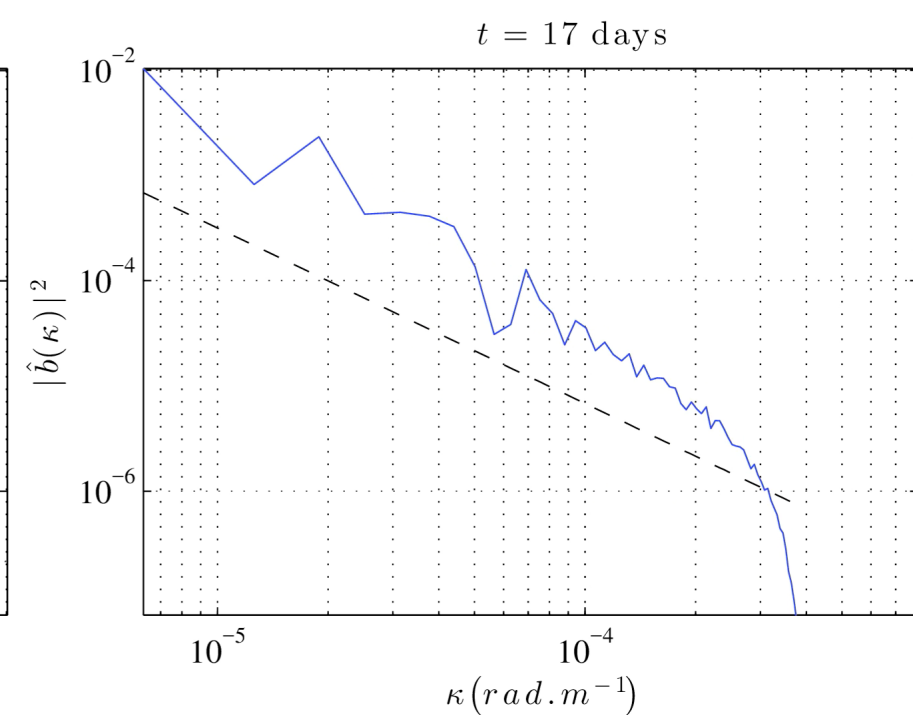
Une réalisation



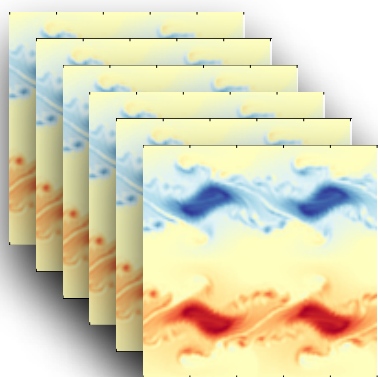
Déterministe 128x128



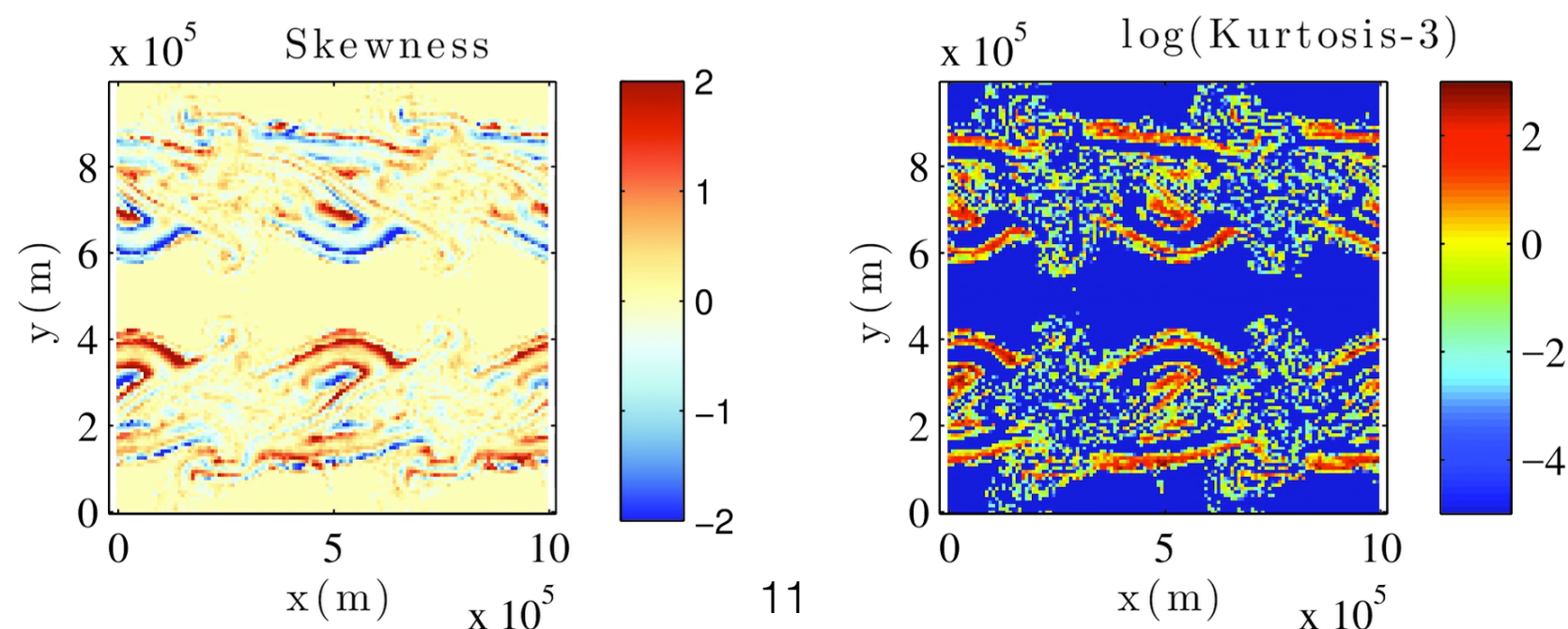
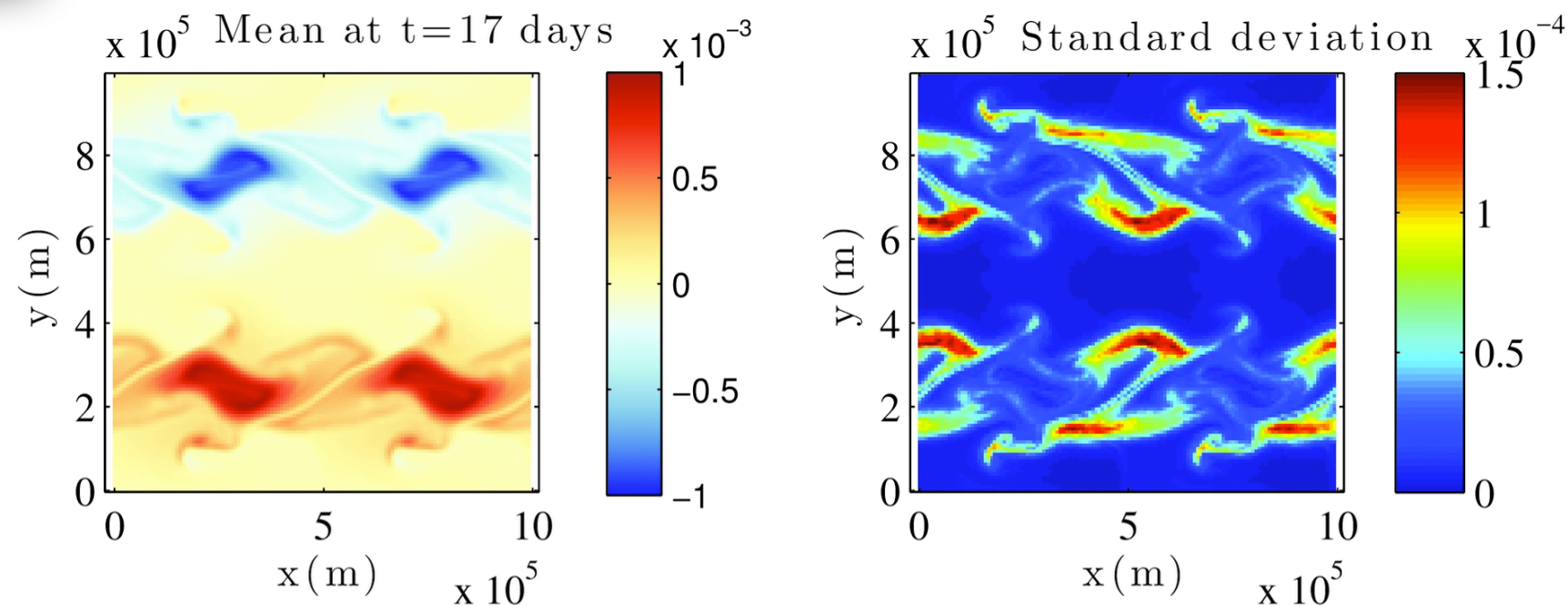
Déterministe 512x512
10

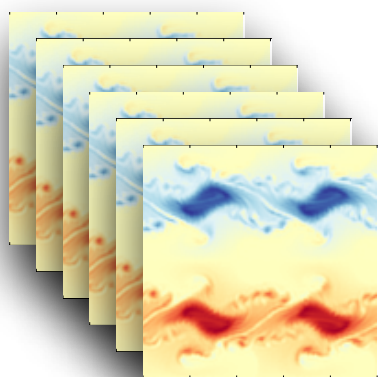


Stochastique 128x128

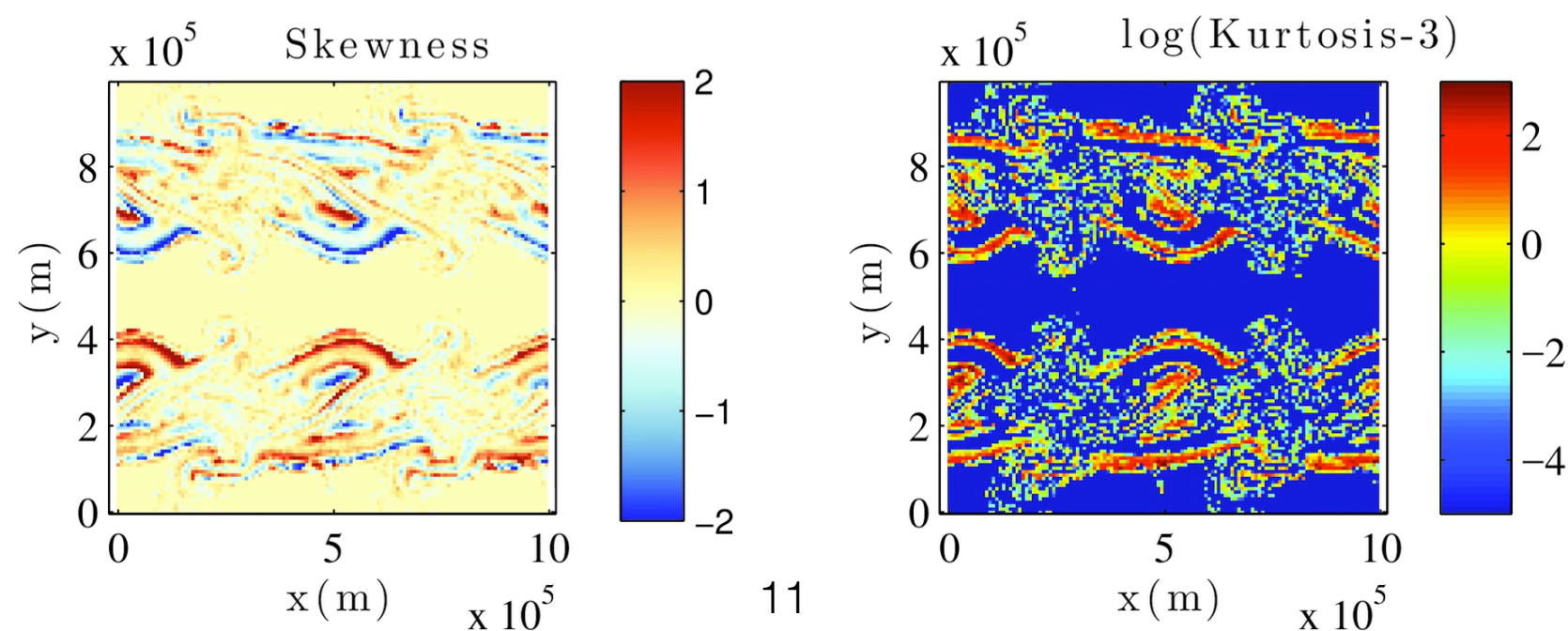
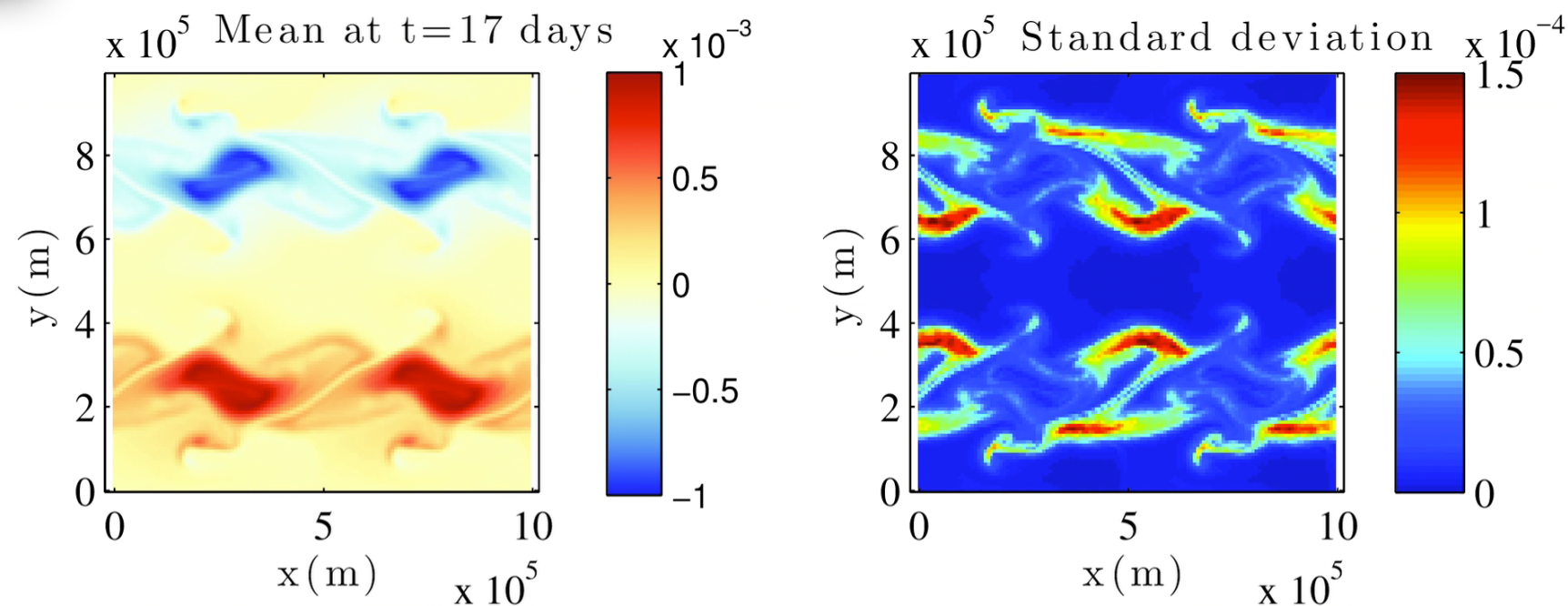


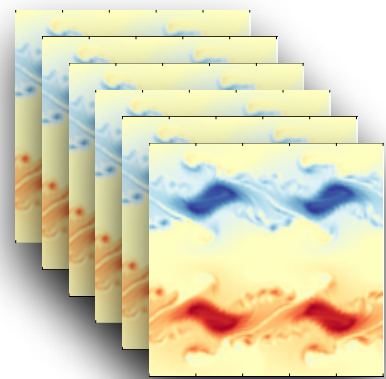
Ensemble



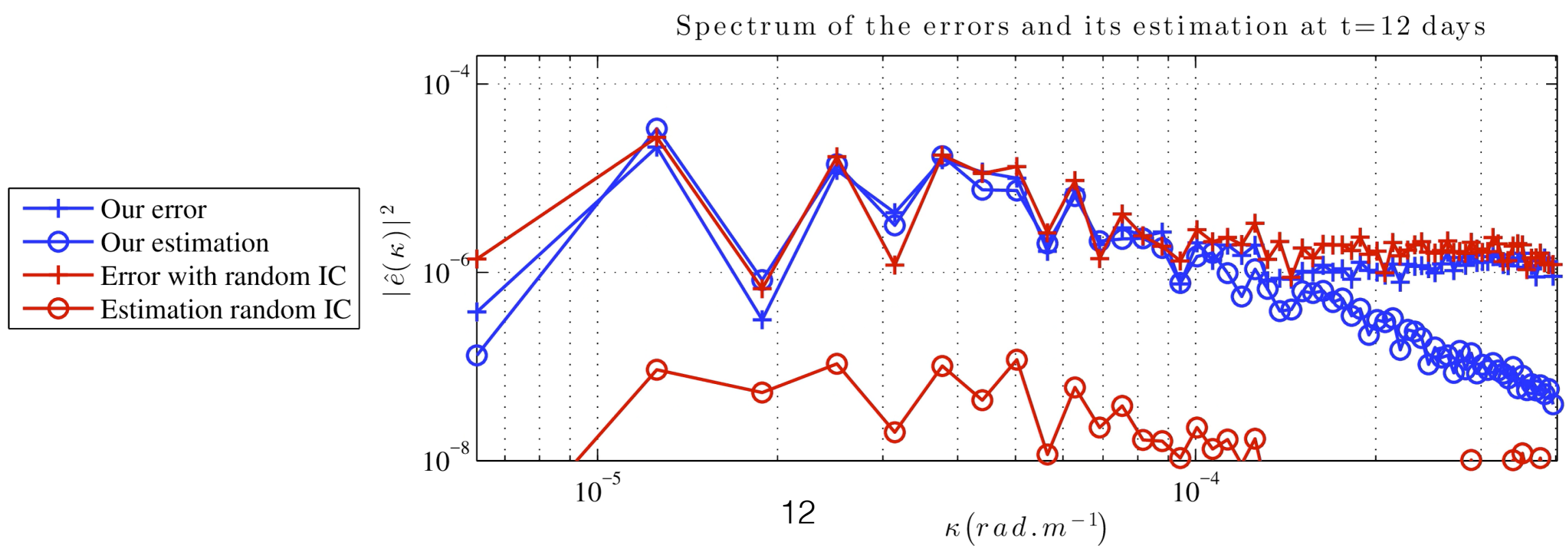
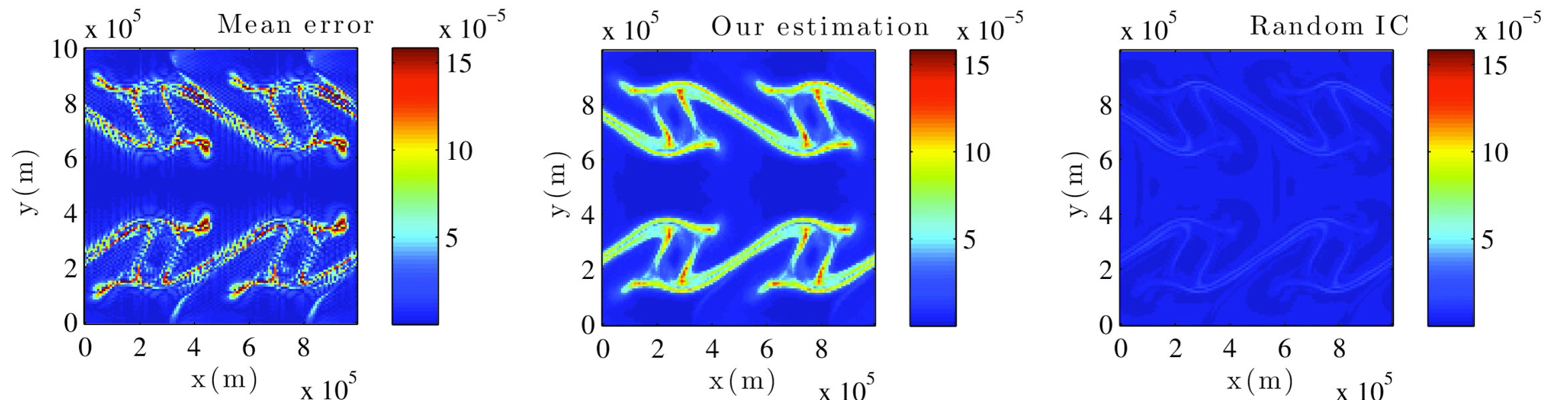


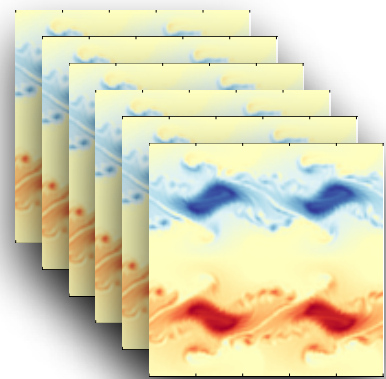
Ensemble



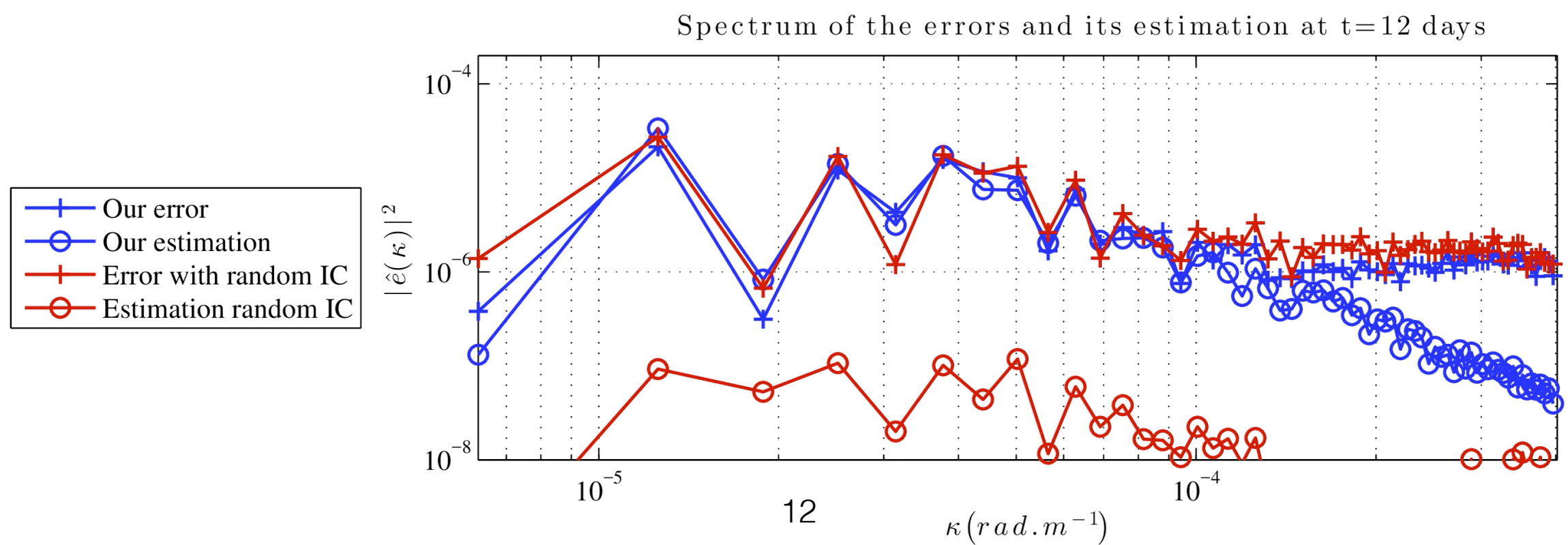
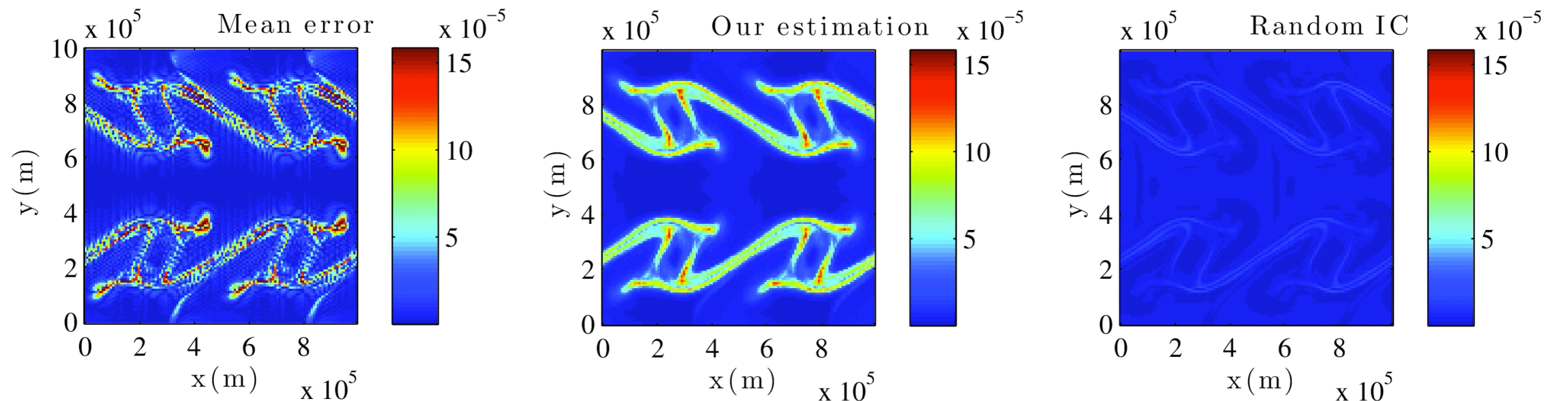


Ensemble

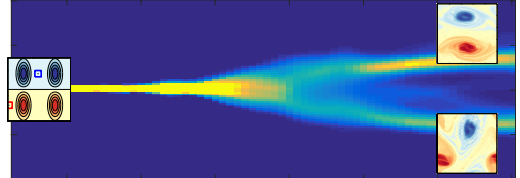




Ensemble



Résumé des modèles QG sous incertitude de position

- Petites échelles plus réalistes
- Estimation de la position et de l'amplitude des erreurs
- Évènements extrêmes
- Bifurcations 
- sous incertitude forte:
Description 2D simple de la frontolyse/frontogénèse

Code SQG MU:

lien depuis le site de l'équipe Fluminance - V. Resseguier

Modèle de Lorenz sous incertitude de position

Est-ce que les modèles grande échelle
(diffusifs) sur-représentent les états stables
dans les simulations d'ensemble?

Modèle(s) de Lorenz

$$\frac{dX}{dt} = \Pr(Y - X) - \frac{4}{2\Upsilon} X$$

$$dY = \left[X(\rho - Z) - Y - \frac{4}{2\Upsilon} Y \right] dt + \frac{\rho - Z}{\Upsilon^{1/2}} dB_t$$

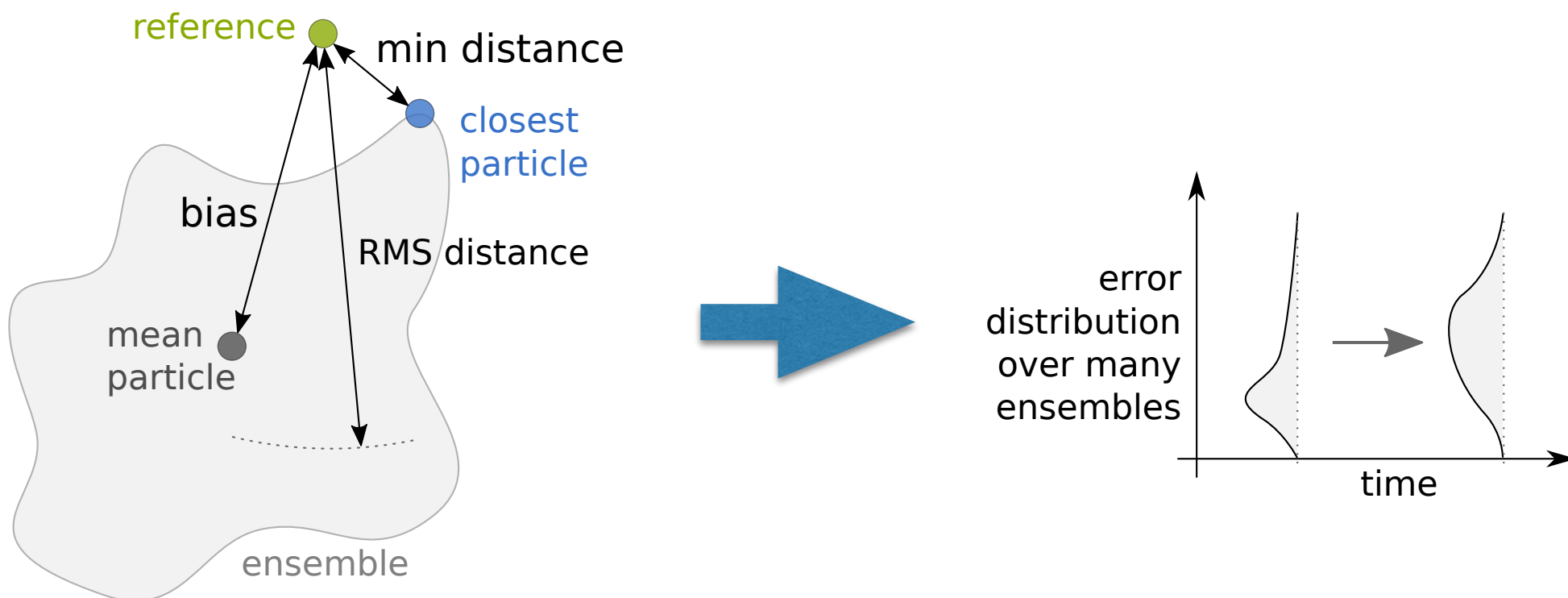
$$dZ = \left[XY - bZ - \frac{8}{2\Upsilon} bZ \right] dt + \frac{Y}{\Upsilon^{1/2}} dB_t$$

- modèle **déterministe** classique ~ DNS, précis mais inaccessible en pratique
- modèle (déterministe) **diffusif** ~ LES
- **stochastique** : modèle sous incertitude de position
 - comportement des ensembles?



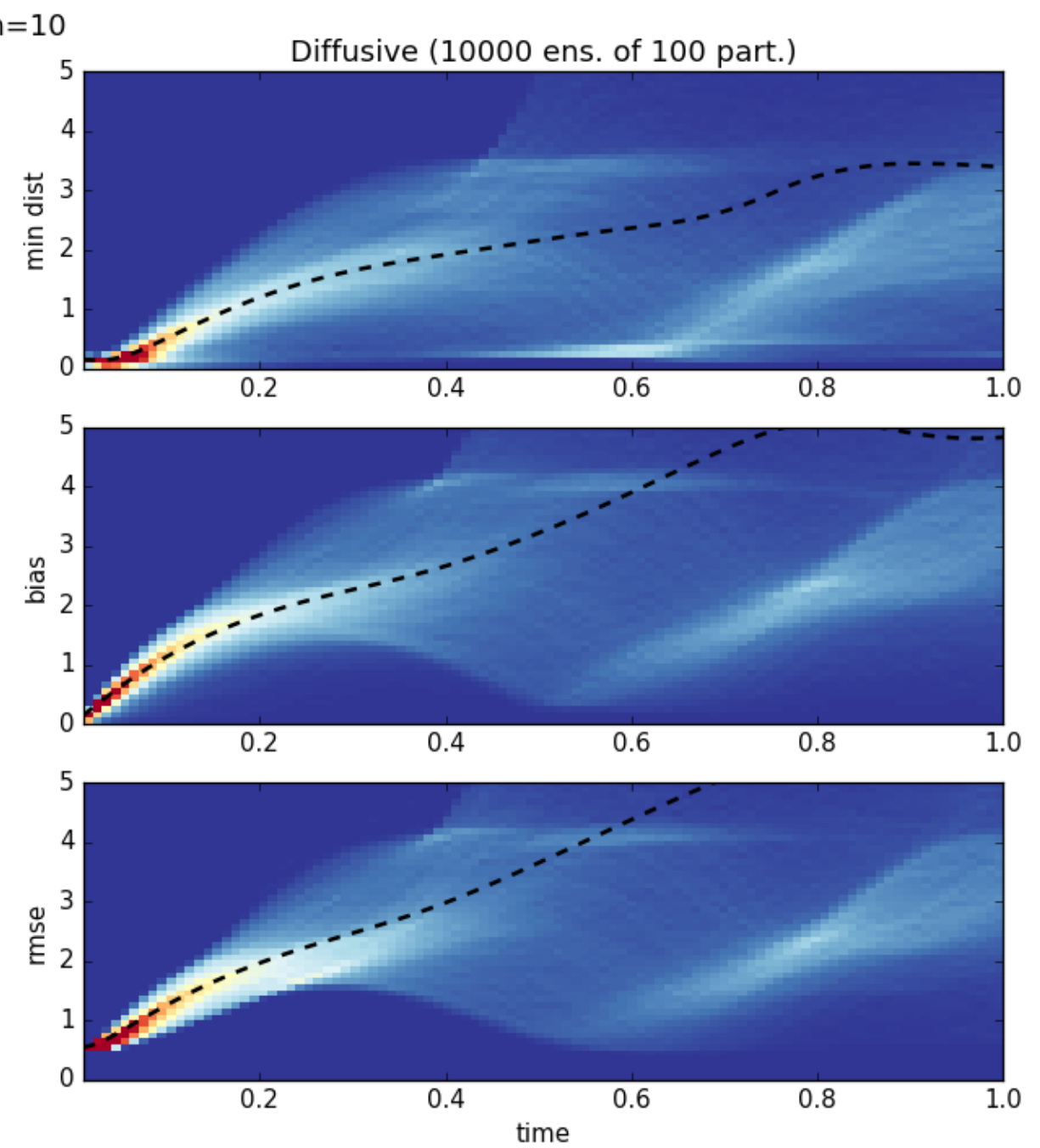
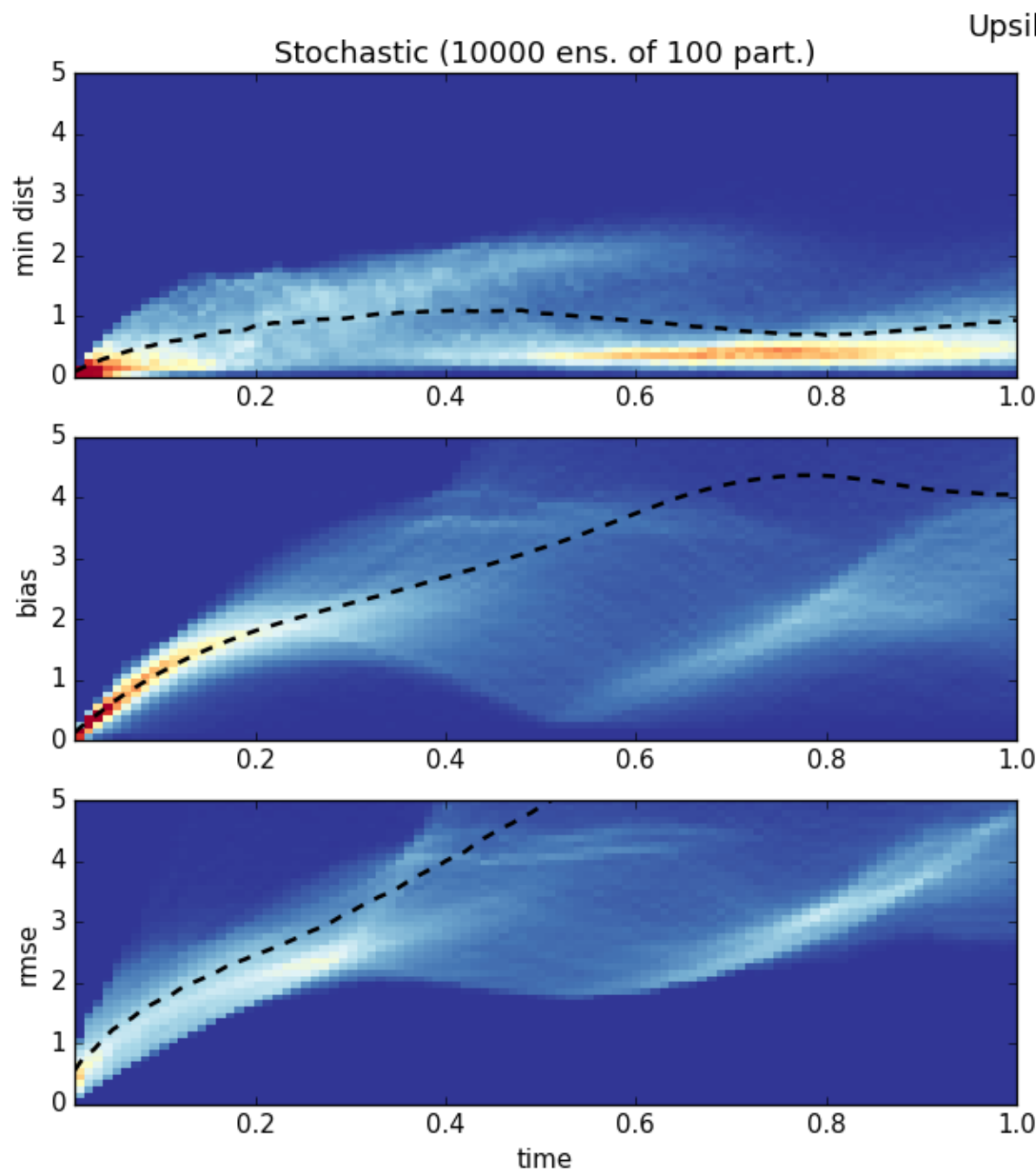
Comportement à temps court

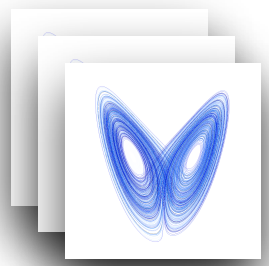
Comparaison ensemble \leftrightarrow référence
3 métriques: distance minimum, biais, RMSE





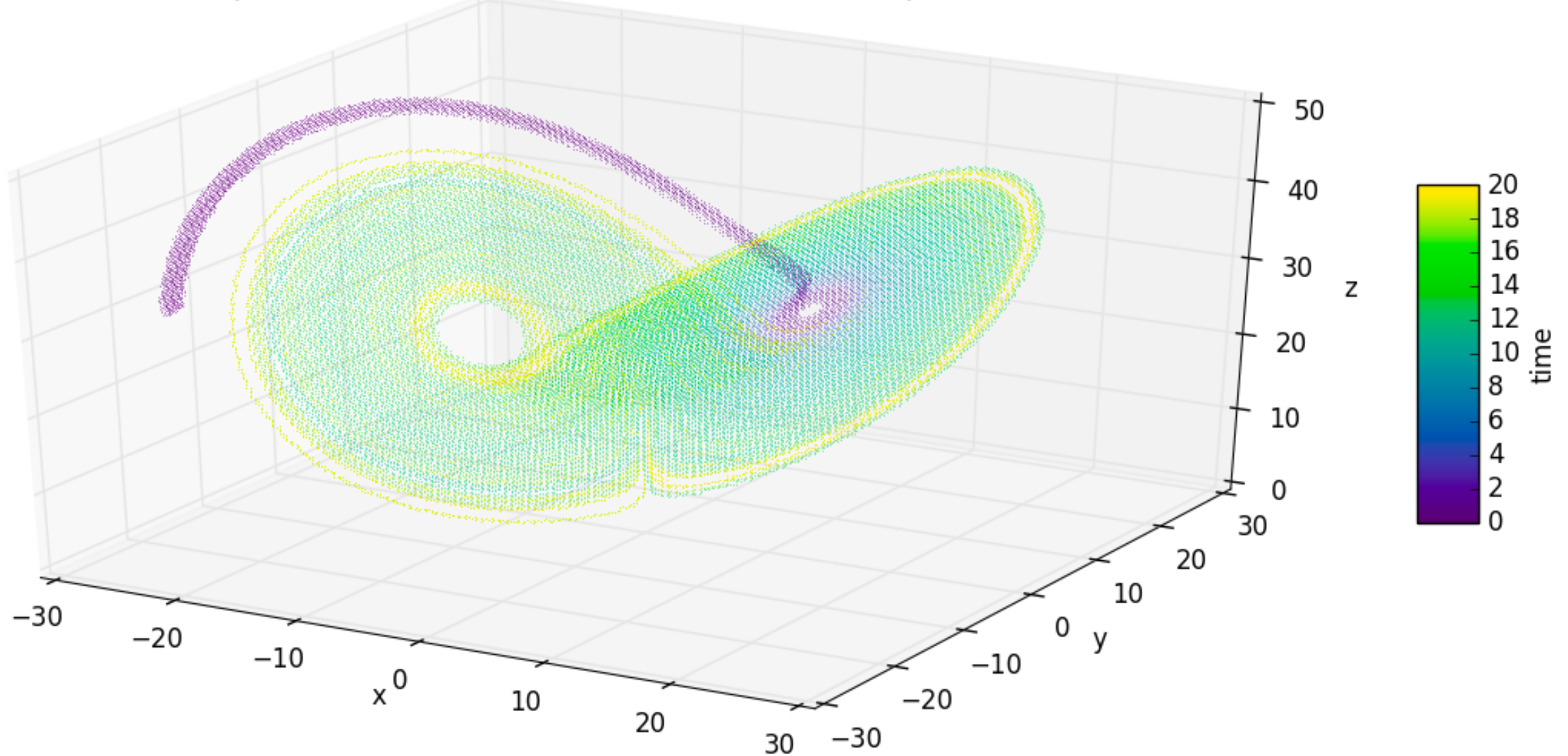
Comportement à temps court

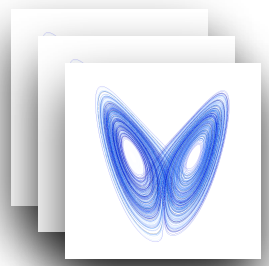




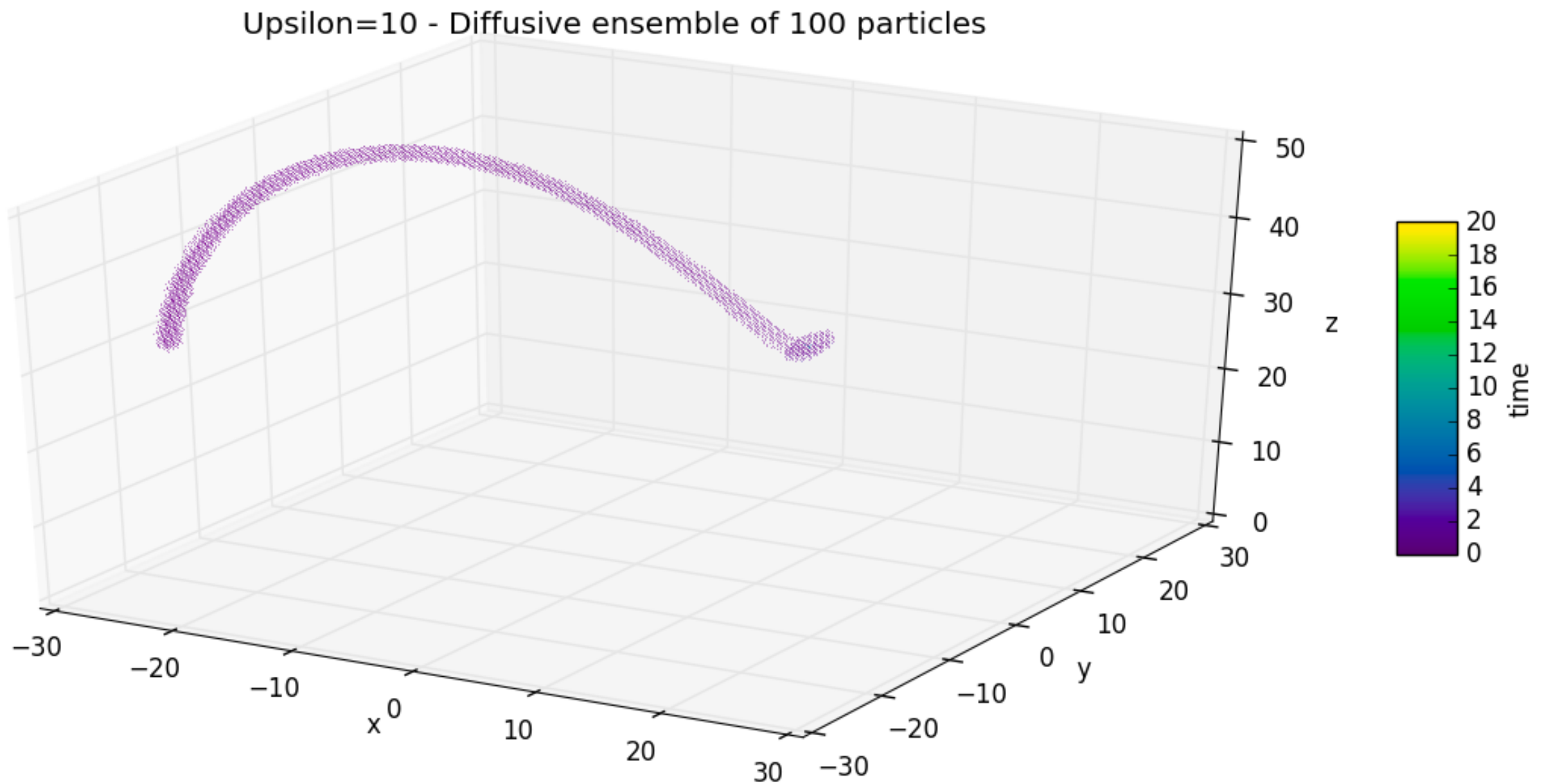
Comportement à temps long

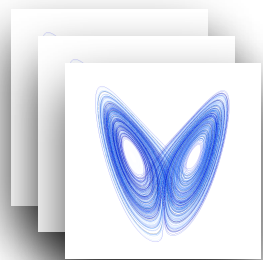
Upsilon=10 - Deterministic ensemble of 100 particles





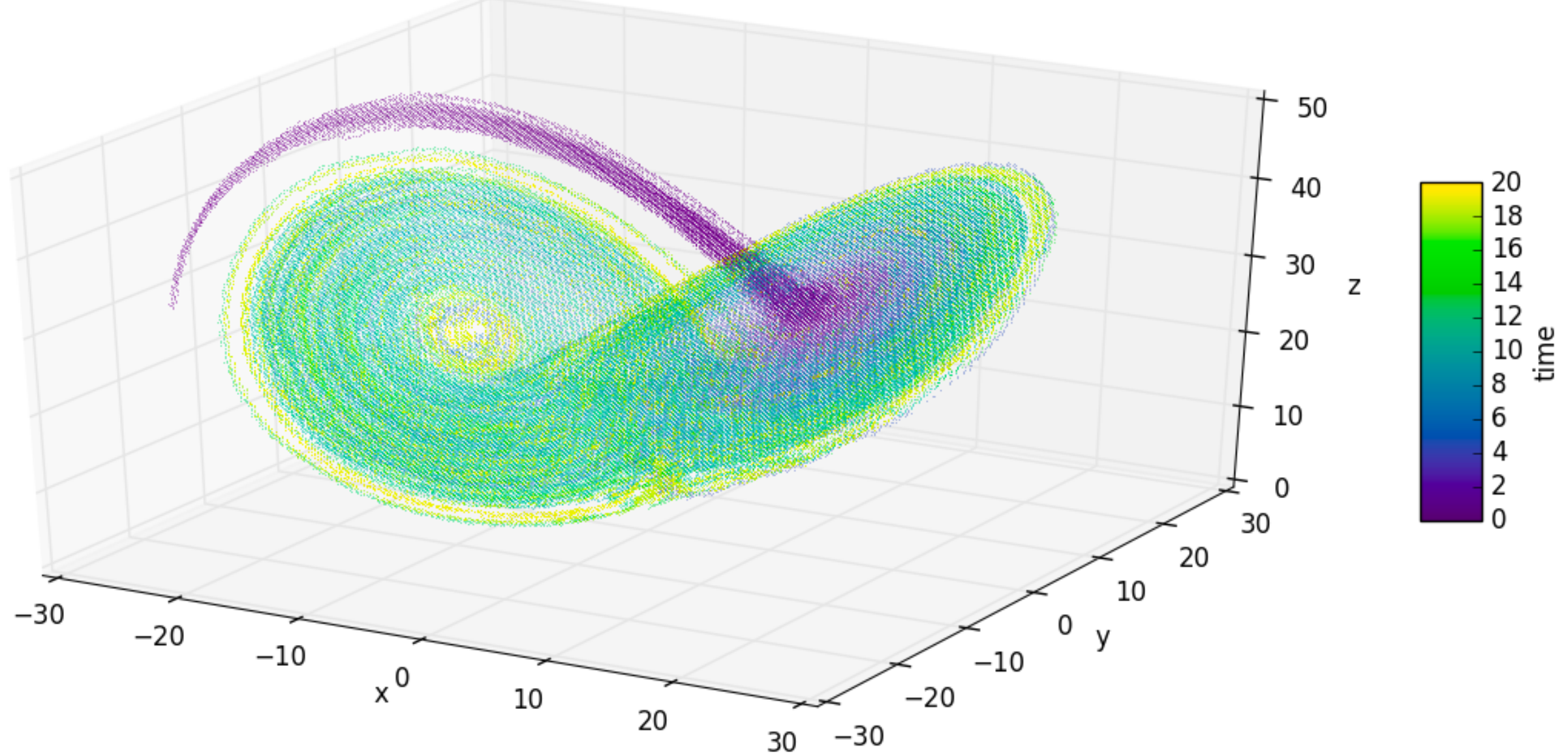
Comportement à temps long

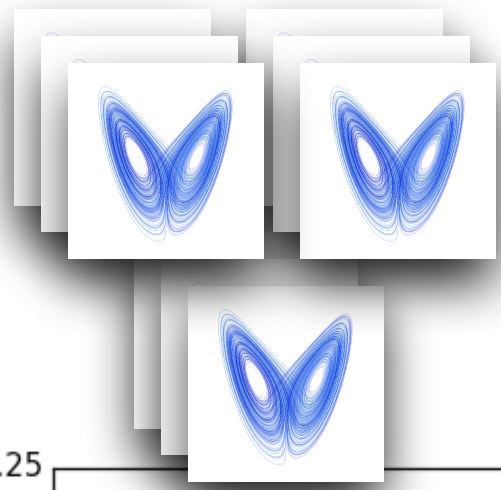




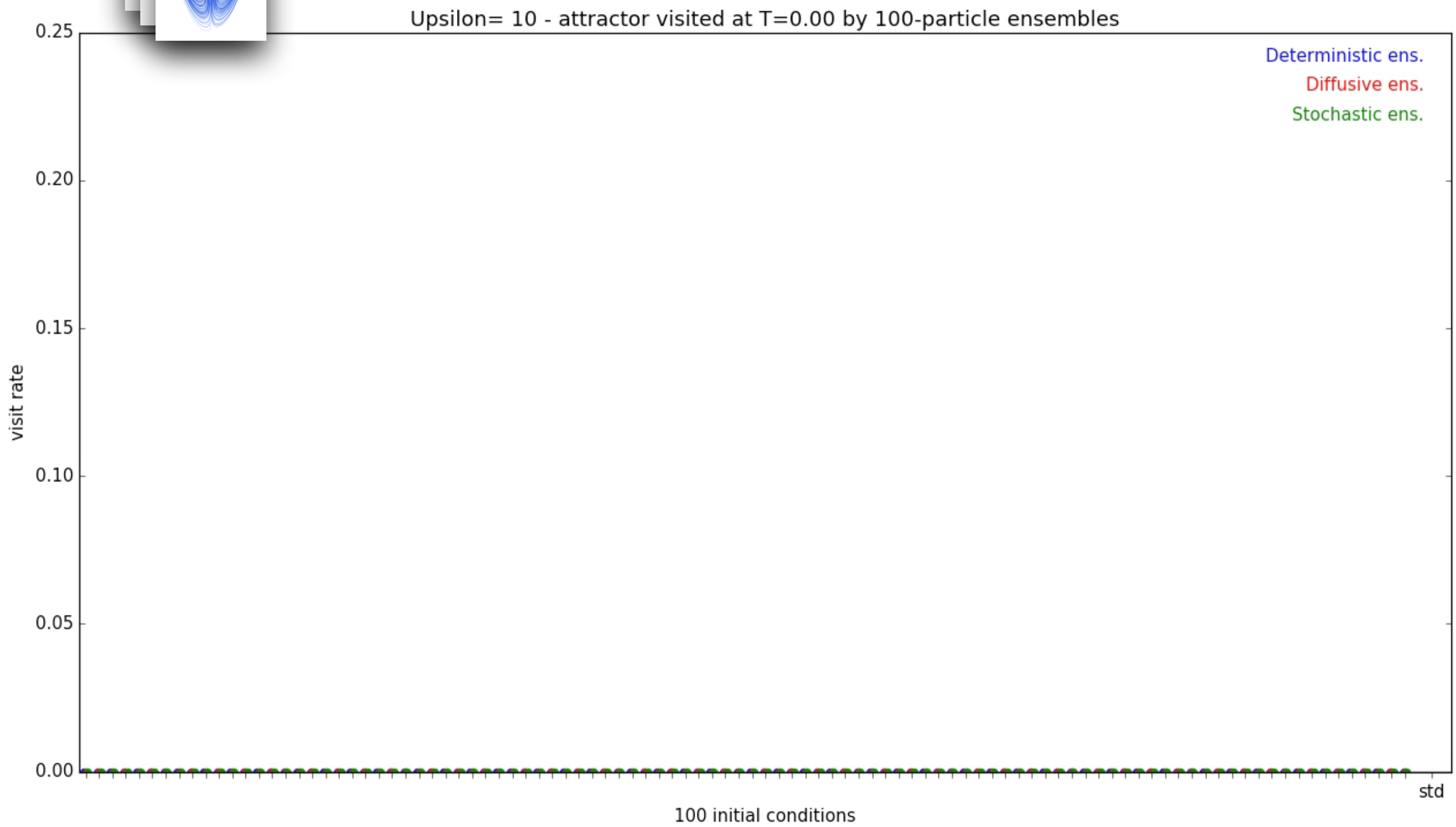
Comportement à temps long

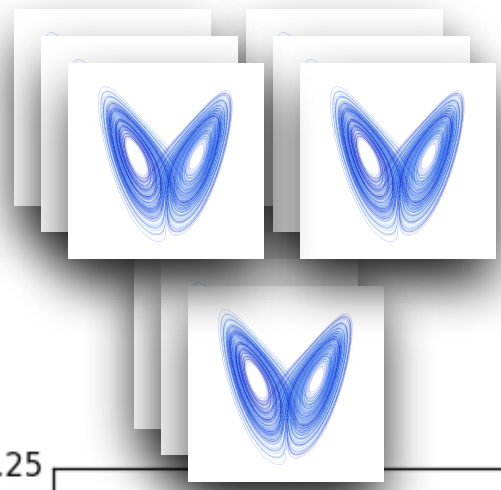
Upsilon=10 - Stochastic ensemble of 100 particles



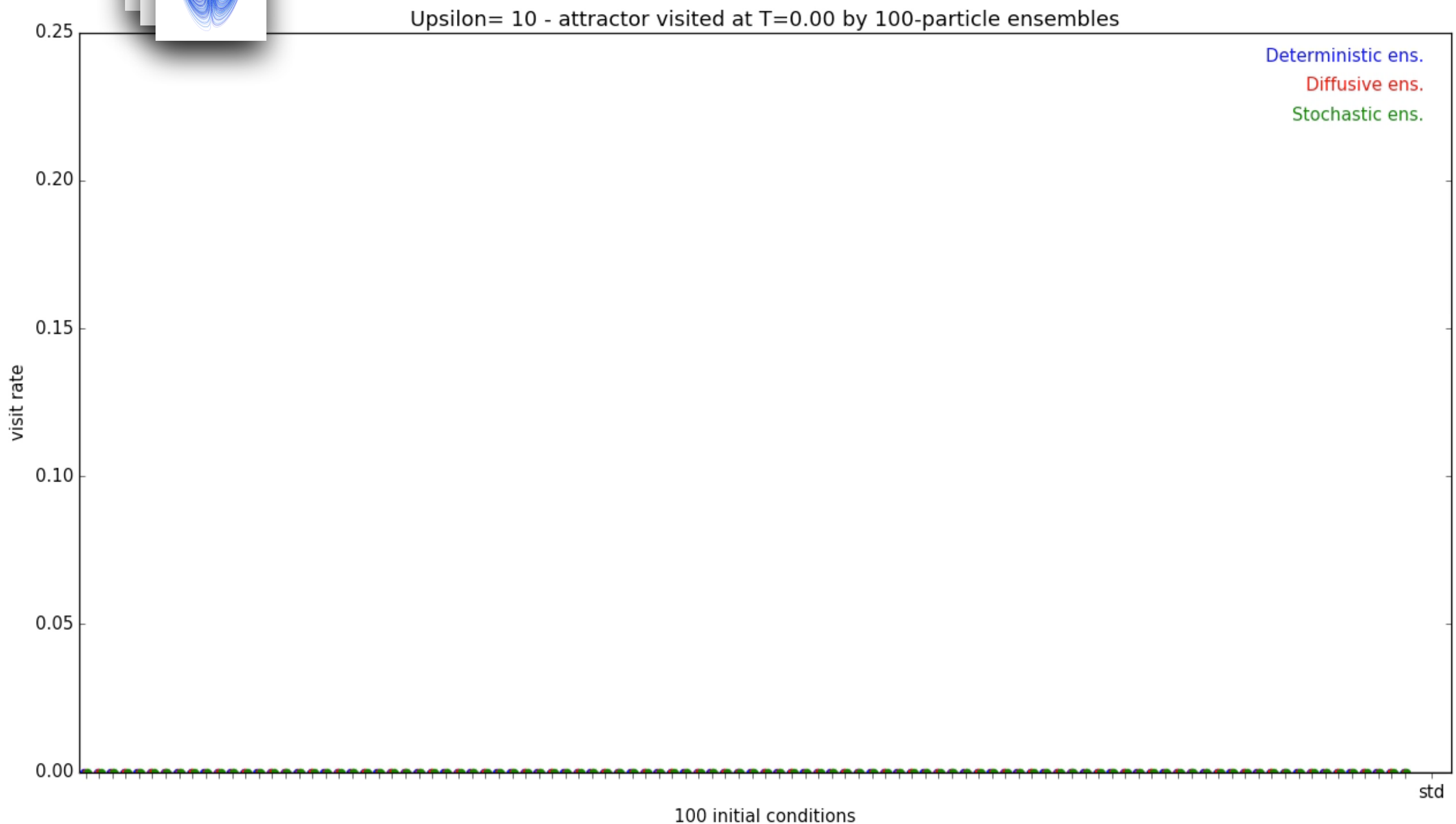


Taux de visite de l'attracteur





Taux de visite de l'attracteur



Conclusion

Conclusion

- Transport aléatoire applicable à n'importe quelle dynamique
- Petites échelles plus réalistes
- Dispersion efficace des ensembles
- Scénarios probables
- Exploration de l'attracteur

Merci de votre attention

Code SQG MU:
lien depuis le site de l'équipe Fluminance - V. Resseguier